

## บทที่ 4

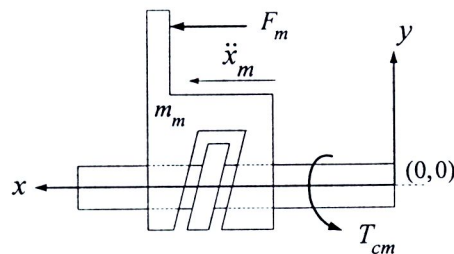
### การออกแบบตัวควบคุมและการทดสอบสมรรถนะ

หากทราบแบบจำลองทางคณิตศาสตร์ของระบบจะทำให้เราสามารถออกแบบตัวควบคุมที่มีประสิทธิภาพสูงได้ สำหรับงานวิจัยนี้แบบจำลองทางคณิตศาสตร์สามารถสร้างได้จาก การวิเคราะห์สมการการเคลื่อนที่ของอุปกรณ์แฮปปิติกทั้งทางด้านมาสเตอร์และสเลฟ

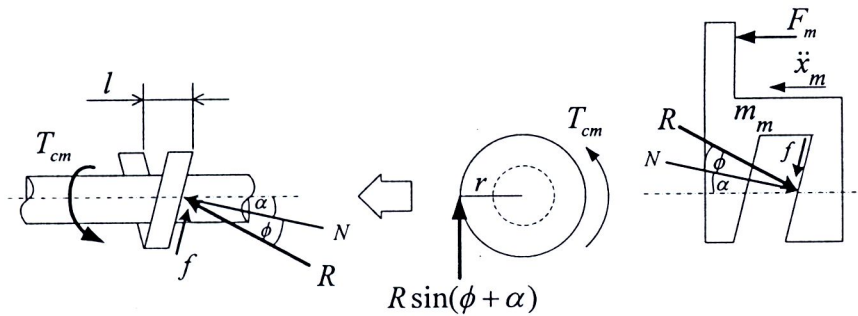
#### 4.1 แบบจำลองทางคณิตศาสตร์ของอุปกรณ์แฮปปิติก

##### 4.1.1 สมการการเคลื่อนที่ของแบบจำลองควบคุมด้านมาสเตอร์

อุปกรณ์แฮปปิติกด้านมาสเตอร์ (master device) เป็นชุดอุปกรณ์ที่สำคัญของการส่องทางกับผู้ใช้งาน ในงานวิจัยนี้ถูกออกแบบให้มีแบบจำลองควบคุมการเคลื่อนที่เป็นลักษณะคานยื่น (cantilever beam) อย่างง่ายคิดตั้งบน linear guide ขับเคลื่อนด้วย ball screw โดยใช้มอเตอร์ไฟฟ้า โดยคิดตั้ง encoder ที่เพลากของ ball screw เพื่อวัดตำแหน่งการเคลื่อนที่ รูป 4.1 แสดงแผนผังวัตถุอิสระ (free body diagram) ของอุปกรณ์แฮปปิติกด้านมาสเตอร์สำหรับความสามารถการเคลื่อนที่ในรูปของสมการอนุพันธ์จากกฎของนิวตันตามสมการที่ (4.4) โดยพิจารณาให้ความฝืดของระบบมีค่าน้อยมาก



รูป 4.1 อุปกรณ์แฮปปิติกด้านมาสเตอร์



รูป 4.2 แผนผังวัตถุอิสระของอุปกรณ์แบบดึงค้านมาสเตอร์

โดยกำหนดตัวแปรต่าง ๆ ดังนี้

$J$  คือ โมเมนต์ความเนื้อของสกรู

$m_m$  คือ มวลของแขนควบคุมการเคลื่อนที่ทางค้านมาสเตอร์

$m_s$  คือ มวลของ gripper ทางค้านสเลฟ

$l$  คือ ระยะพิช (Pitch) ของสกรู

$r$  คือ ระยะรัศมีเฉลี่ยที่แรงลัพธ์กระทำกับสกรู

$F_m$  คือ แรงจากมือผู้ควบคุม

$F_e$  คือ แรงปฏิกิริยาของ gripper ทางค้านสเลฟที่สัมผัสกับสิ่งแวดล้อม

$T_{cm}$  คือ แรงบิดของมอเตอร์ที่ควบคุมการเคลื่อนที่ทางค้านมาสเตอร์

$T_{cs}$  คือ แรงบิดของมอเตอร์ที่ควบคุมการเคลื่อนที่ทางค้านสเลฟ

$x_m$  คือ ตำแหน่งการเคลื่อนที่ของแขนควบคุมการเคลื่อนที่ทางค้านมาสเตอร์

$x_s$  คือ ตำแหน่งการเคลื่อนที่ของ gripper ทางค้านสเลฟ

$f$  คือ แรงที่เกิดจากความผิด

$N$  คือ แรงปฏิกิริยาในแนวตั้งจาก

$R$  คือ แรงลัพธ์ที่เกิดจากความผิดและแรงปฏิกิริยาในแนวตั้งจาก

$\phi$  คือ มุนระบห่วงแรงปฏิกิริยาในแนวตั้งจากและแรงลัพธ์

$\alpha$  คือ มุนระบห่วงแรงปฏิกิริยาในแนวตั้งจากและแกนเพลา

จากแผนผังวัตถุอิสระในรูป 4.2 สามารถคำนวณหาสมการการเคลื่อนที่ของแขนควบคุม การเคลื่อนที่ทางด้านมาสเตอร์จากกฎของนิวตันได้ดังนี้

พิจารณาจากการเคลื่อนที่เชิงมุมของเพลา

$$\sum M = J\ddot{\theta} ; r \sin(\alpha + \phi)R - T_{cm} = J\ddot{\theta} \quad (4.1)$$

และการเคลื่อนที่ในแนวตรง

$$\sum F_x = m\ddot{x} ; F_m - \cos(\alpha + \phi)R = m_m \ddot{x}_m \quad (4.2)$$

จากสมการที่ (1) และ (2) จะได้

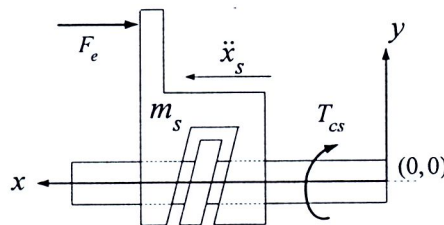
$$T_{cm} + J\ddot{\theta} = r(F_m - m_m \ddot{x}_m) \tan(\alpha + \phi) \quad (4.3)$$

เมื่อ  $\frac{d\theta}{dx} = \frac{2\pi}{l}$  พิจารณาระบบไม่มีความฟืด ( $\phi = 0$ ) และ  $\tan(\alpha) = \frac{l}{2\pi r}$  จะได้สมการการเคลื่อนที่ของแขนควบคุมการเคลื่อนที่ทางด้านมาสเตอร์ดังนี้

$$F_m \left( \frac{l}{2\pi} \right) - T_{cm} = \left( \frac{J(2\pi)^2 + m_m l^2}{2\pi l} \right) \ddot{x}_m \quad (4.4)$$

#### 4.1.2 สมการการเคลื่อนที่ของ gripper

อุปกรณ์สเลฟ (slave device) เป็นชุดอุปกรณ์ที่สัมผัสกับลิ่งแวรคล้องถูกออกแบบคล้ายกับอุปกรณ์ด้านมาสเตอร์คือ มี gripper เป็นลักษณะคานยื่นอย่างง่ายติดตั้งบน linear guide ขับเคลื่อนด้วย ball screw โดยใช้มอเตอร์ไฟฟ้า โดยติดตั้ง encoder ที่เพลาของ ball screw เพื่อวัดตำแหน่งการเคลื่อนที่ รูป 4.3 แสดงแผนผังวัตถุอิสระของอุปกรณ์และคานสเลฟสำหรับความสามารถการเคลื่อนที่ในรูปของสมการอนุพันธ์จากกฎของนิวตันตามสมการที่ (4.5) โดยพิจารณาให้ความฟืดของระบบมีค่าน้อยมาก



รูปที่ 4.3 อุปกรณ์สเลพ

$$T_{cs} - F_e \left( \frac{l}{2\pi} \right) = \left( \frac{J(2\pi)^2 + m_s l^2}{2\pi l} \right) \ddot{x}_s \quad (4.5)$$

โดยอุปกรณ์แฮปติกที่ได้ออกแบบมีค่าพารามิเตอร์ต่าง ๆ ดังตาราง 4.1

ตาราง 4.1 พารามิเตอร์ของอุปกรณ์แฮปติก

สัญลักษณ์	ขนาด	หน่วย
$J$	0.00000264	Kg.m <sup>2</sup>
$l$	4	mm
$m_m$	370	g
$m_s$	370	g

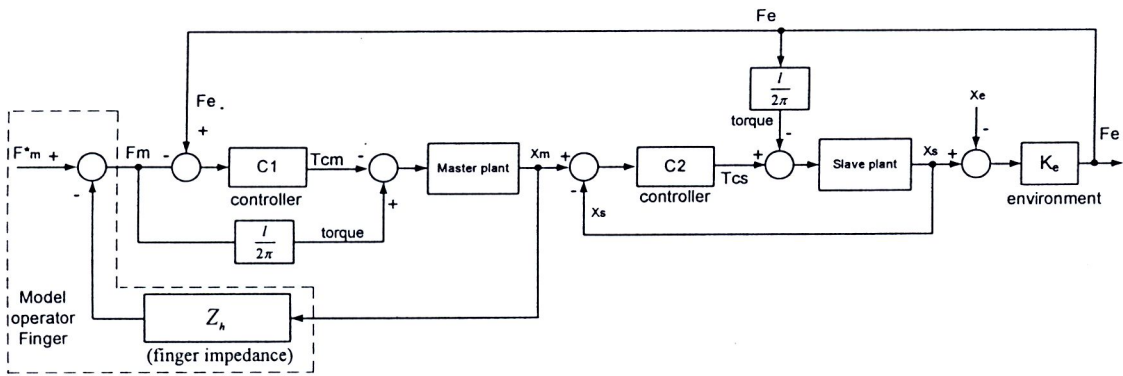
## 4.2 โครงสร้างการควบคุม

งานวิจัยนี้ได้สร้างแบบจำลองทางคณิตศาสตร์ของตัวควบคุมให้กับระบบแฮปติก อินเตอร์เฟส โดยใช้โครงสร้างในการควบคุมแบบ Force-Position Bilateral Control Architecture ในการควบคุมแรงบิดของมอเตอร์ค้านมาสเตอร์  $T_{cm}$  และค้านสเลพ  $T_{cs}$  ถูกกำหนดให้เป็นฟังก์ชัน ของแรงและตำแหน่งเพื่อใช้ในการควบคุมระบบซึ่งเชื่อมให้อยู่ในรูปสมการ

$$T_{cm} = C_1 (F_e - F_m) \quad (4.6)$$

$$T_{cs} = C_2 (X_m - X_s) \quad (4.7)$$

สมการที่ (4.6) และ (4.7) แสดงสัญญาณควบคุมที่ใช้ควบคุมแรงบิดของมอเตอร์ด้านมาสเตอร์และสเลฟเพื่อควบคุมการเคลื่อนที่ของแขนควบคุมด้านมาสเตอร์และ gripper ด้านสเลฟตามลำดับ โดยใช้สัญญาณความคลาดเคลื่อนของแรง (force error) ใน การควบคุมแรงบิดของมอเตอร์ด้านมาสเตอร์  $T_{cm}$  และใช้สัญญาณความคลาดเคลื่อนของตำแหน่ง (position error) ในการควบคุมแรงบิดของมอเตอร์ด้านสเลฟ  $T_{cs}$  ทำให้ระบบแฮปติกมีแบบจำลองทางคณิตศาสตร์ของระบบแสดงดังนี้ ประกอบด้วยโปรแกรมของการควบคุมตามรูป 4.4

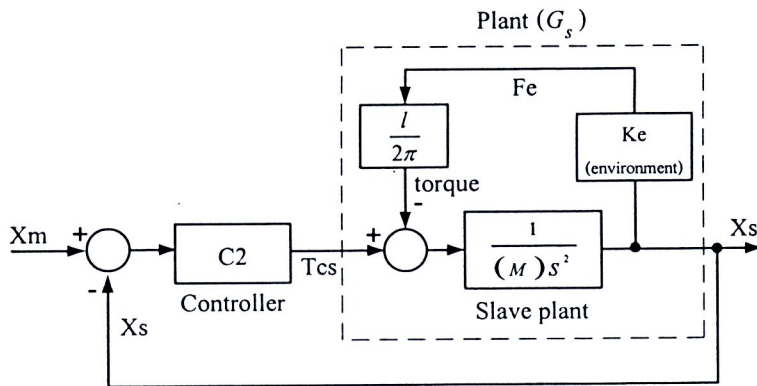


รูป 4.4 แบบจำลองทางคณิตศาสตร์ของโครงสร้างการควบคุมของระบบ

ในการออกแบบตัวควบคุมเราต้องการให้ gripper สามารถเคลื่อนที่ตามการเคลื่อนไหวของผู้ควบคุมที่ความถี่ไม่เกิน 10 เฮิรตซ์ ซึ่งเป็นค่าประมาณของขีดจำกัดของช่วงความถี่ (bandwidth) ของการเคลื่อนไหวของแขนมนุษย์ และออกแบบให้ผู้ควบคุมสามารถรับรู้ถึงแรงและตำแหน่งจากการลัมพัส (kinesthetic sensing) ในช่วงความถี่ไม่เกิน 20 เฮิรตซ์ [6] ซึ่งเป็นค่าประมาณความถี่ที่มนุษย์จะรับรู้ผ่านการเคลื่อนไหวได้

### 4.3 การออกแบบตัวควบคุมด้านสเลฟ

จากรูปแบบการควบคุมตามสมการที่ (4.6) และ (4.7) ได้แยกการควบคุมอุปกรณ์แฮปติกด้านสเลฟโดยใช้สัญญาณป้อนกลับ (feedback) เนื่องจากตำแหน่งการเคลื่อนที่แสดงเป็นบล็อกได้ตามรูป 4.5



รูป 4.5 บล็อกไซอะแกรมสำหรับควบคุมการเคลื่อนที่ของ gripper ของอุปกรณ์สเลฟ

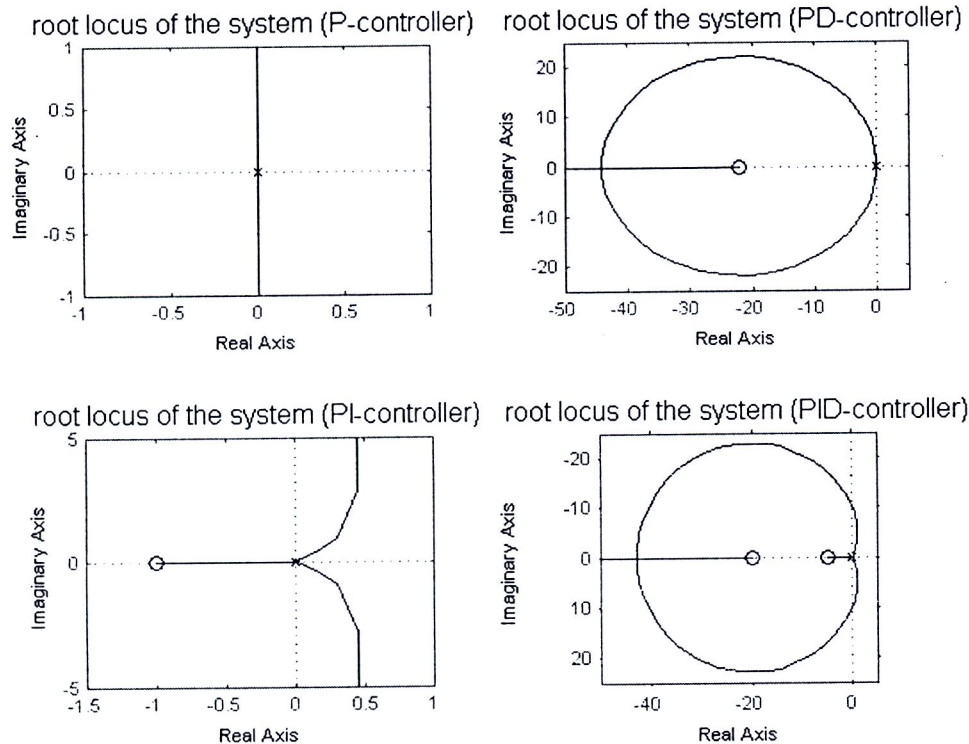
และสามารถหา transfer function ระหว่างตำแหน่งการเคลื่อนที่ของ gripper ของอุปกรณ์แฮปติกค้านสเลฟและแบบควบคุมการเคลื่อนที่ทางค้านมาสเตอร์เป็น

$$\frac{X_s(s)}{X_m(s)} = \frac{C_2 G_s(s)}{1 + C_2 G_s(s)} \quad (4.8)$$

โดยที่

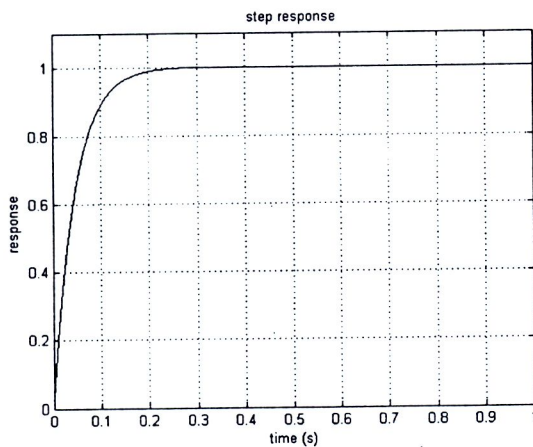
$$G_s(s) = \frac{1}{\left( \frac{J(2\pi)^2 + m_s l^2}{2\pi l} \right) s^2 + \left( \frac{l}{2\pi} \right) K_e}$$

สมการคุณลักษณะ(Characteristic equation) ของ transfer function ในสมการที่ (4.8) สามารถนำมาวิเคราะห์เพื่อออกรูปแบบตัวควบคุมและตรวจสอบเสถียรภาพของระบบแฮปติกค้านสเลฟด้วยวิธี root locus โดยพิจารณาข้างต้นที่ gripper ของอุปกรณ์แฮปติกค้านสเลฟถูกควบคุมให้เคลื่อนที่อย่างอิสระ โดยไม่มีการสัมผัสนักบัวตุ  $K_e = 0$  รูป 4.6 แสดง root locus ของระบบควบคุมตำแหน่งการเคลื่อนที่ของ gripper เมื่อควบคุมด้วยตัวควบคุมแบบต่างๆ

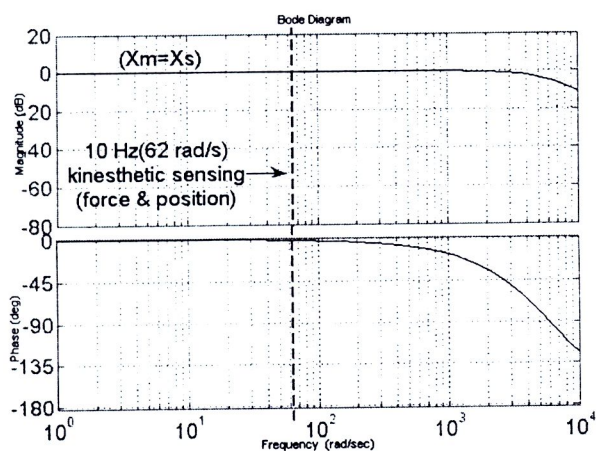


รูป 4.6 root locus ของตัวควบคุมแบบ P PD PI และ PID สำหรับด้านสเลฟ

จาก root locus บ่งบอกถึงความไม่เหมาะสมสมที่จะเลือกใช้ตัวควบคุมแบบ P PI และ PID เนื่องจากตัวควบคุมแบบ P จะทำให้ระบบมีผลการตอบสนองแบบ imaginary stable สำหรับตัวควบคุมแบบ PI ก็จะทำให้ระบบขาดเสถียรภาพและตัวควบคุมแบบ PID จะมีบางช่วงของเส้นทาง root locus อยู่ทางด้านขวาของแกนจินตภาพหากเราเลือกค่าพารามิเตอร์ของตัวควบคุมที่ไม่เหมาะสมก็จะทำให้ระบบขาดเสถียรภาพได้เช่นกัน ดังนั้นงานวิจัยนี้ได้ออกแบบตัวควบคุมด้านสเลฟเป็นตัวควบคุมแบบ PD โดยให้ผลการตอบสนองกรณีที่ไม่มีการสัมผักระยะล้มที่เหมาะสม (rise time ประมาณ 0.1 วินาที และไม่มี overshoot) ซึ่งได้ตัวควบคุม  $C_2 = 15(s + 22)$



รูป 4.7 ผลการตอบสนองต่อ step response ของตัวควบคุมแบบ PD ที่ใช้ควบคุมตำแหน่งด้านสเลฟ

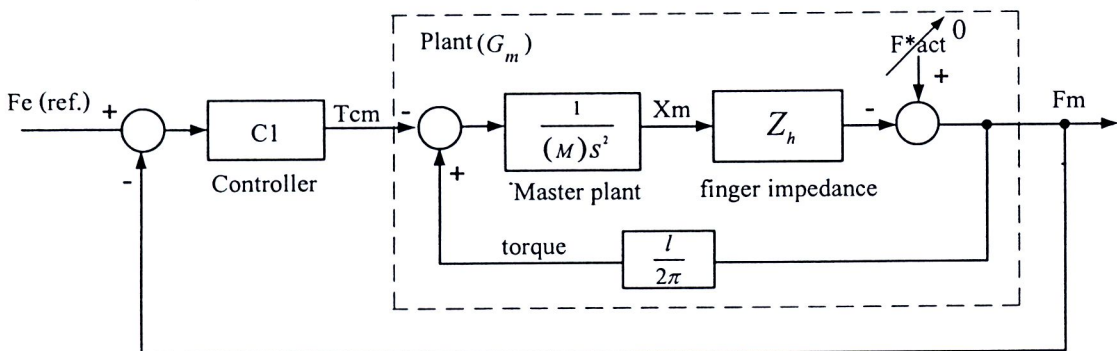


รูป 4.8 ผลการตอบสนองเชิงความถี่ของตัวควบคุมที่ใช้ควบคุมตำแหน่งด้านสเลฟ

รูป 4.7 และ รูป 4.8 แสดงผลการตอบสนองต่อ step response และผลการตอบสนองเชิงความถี่ของระบบเมื่อไม่มีการสัมผัสกับสิ่งแวดล้อมตามลำดับ ซึ่งบ่งบอกถึงผลการติดตามของตำแหน่งการเคลื่อนที่ระหว่างแขนควบคุมการเคลื่อนที่ทางด้านมาสเตอร์และ gripper ทางด้านสเลฟที่สามารถทำงานภายใต้ช่วงความถี่ตั้งแต่ 0 – 10 เฮิรตซ์ โดยตัวควบคุมแบบ PD ตามที่ระบบต้องการ

#### 4.4 การออกแบบตัวควบคุมด้านมาสเตอร์

จากรูปแบบการควบคุมตามสมการที่ (4.6) และ (4.7) การควบคุมด้านมาสเตอร์ใช้สัญญาณป้อนกลับเฉพาะแรงเท่านั้น โดยมองปัญหาการออกแบบตัวควบคุมด้านมาสเตอร์เป็นแบบ force tracking โดยไม่คำนึงถึงพลวัต (dynamics) ของด้านสเลฟ รูป 4.9 แสดงบล็อกไซด์ของแกรมของระบบด้านมาสเตอร์



รูป 4.9 บล็อกไซด์ของแกรมสำหรับควบคุมการเคลื่อนที่ด้านมาสเตอร์

จากบล็อกไซด์ของแกรมในรูป 4.9 สามารถหา transfer function ระหว่างแรงปฎิริยาของ gripper ทางด้านสเลฟที่สัมผัสกับวัตถุและแรงจากมือผู้ควบคุมเป็น

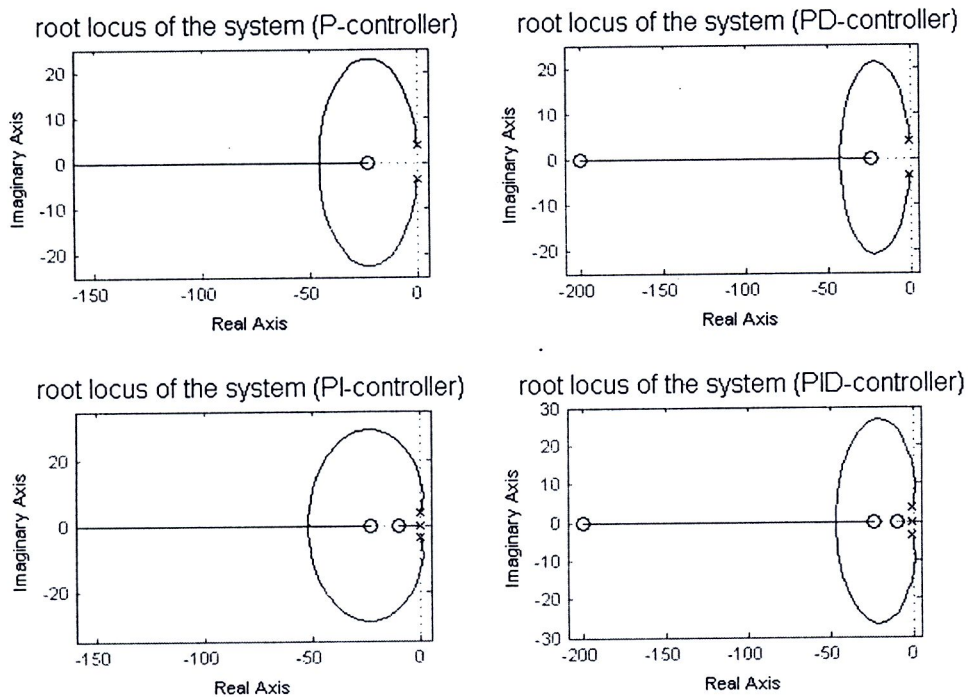
$$\frac{F_m(s)}{F_e(s)} = \frac{(G_m)C_1}{1 + (G_m)C_1} \quad (4.9)$$

โดยที่  $G_m(s) = \frac{Z_h}{Ms^2 + Z_h \left( \frac{l}{2\pi} \right)}$

เมื่ออินพิดิเคนซ์ของนิวมีอ [22] มีค่า  $Z_h = 0.00306s^2 + 4.32s + 98.9$

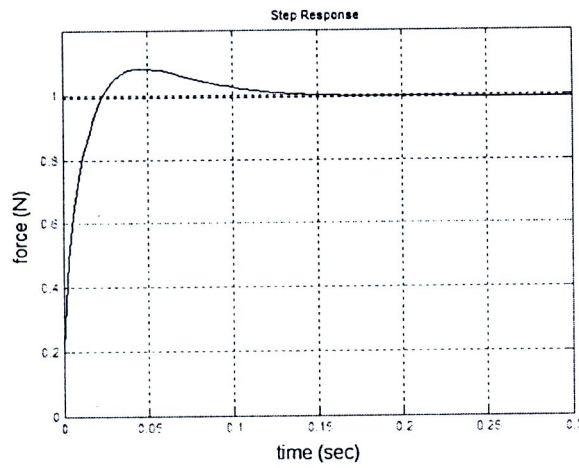
สมการคุณลักษณะ(Characteristic equation) ของ transfer function ในสมการที่ (4.9) สามารถนำมาระยะเพื่อออกแบบตัวควบคุมและตรวจสอบเสถียรภาพของระบบแซปติกด้าน

นาสเตอร์คิวบิช root locus รูป 4.10 แสดง root locus ของระบบควบคุมแรงด้านนาสเตอร์เมื่อควบคุมด้วยตัวควบคุมแบบต่าง ๆ

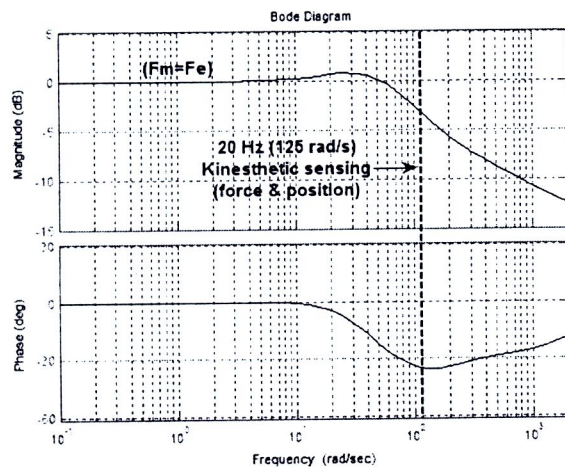


รูป 4.10 root locus ของตัวควบคุมแบบ P PD PI และ PID สำหรับค้านนาสเตอร์

ในการออกแบบตัวควบคุมทางด้านนาสเตอร์นั้นต้องการให้ระบบมีผลการตอบสนองที่รวดเร็ว เพื่อสร้างแรงป้อนกลับให้ผู้ควบคุมสามารถรับรู้ถึงแรงในการสัมผัสได้ทันทีขณะที่ gripper สัมผัสถกับสิ่งแวดล้อม สำหรับงานวิจัยนี้ได้ออกแบบผลการตอบสนองของระบบที่ rise time ประมาณ 0.03 วินาที และต้องการให้ระบบเข้าสู่ภาวะคงตัว (steady state) ภายในเวลาประมาณ 0.15 วินาที โดยออกแบบตัวควบคุมคิวบิช root locus ดังรูป 4.10 แสดง root locus ของระบบแฮปติกด้านนาสเตอร์ เมื่อใช้ออกแบบตัวควบคุมแบบ P PD PI และ PID พนว่าตัวควบคุม PI และ PID มีโพลเด่น (dominate pole) อยู่หนึ่งตำแหน่งบริเวณใกล้จุดกำเนิดทำให้ผลการตอบสนองของระบบช้าชี้่ไม่เหมาะสมที่จะนำมาใช้งาน ในงานวิจัยนี้ได้ออกแบบตัวควบคุมเป็นแบบ PD โดยออกแบบให้  $C_1 = 0.0005(s + 200)$  ซึ่งให้ผลการตอบสนองของระบบดังรูป 4.11 และรูป 4.12 ตามลำดับ



รูป 4.11 ผลการตอบสนองต่อ step response ของตัวควบคุมแบบ PD ที่ใช้ควบคุมด้านมาสเตอร์



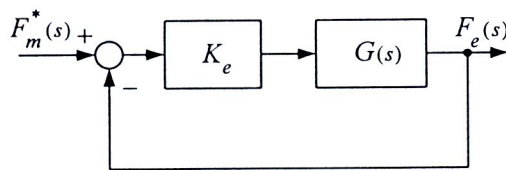
รูป 4.12 ผลการตอบสนองเชิงความถี่ของตัวควบคุมแบบ PD ที่ใช้ควบคุมด้านมาสเตอร์

รูป 4.11 และรูป 4.12 แสดงผลการตอบสนองต่อ step response และผลการตอบสนองเชิงความถี่ของระบบตามลำดับ ซึ่งบ่งบอกถึงผู้ควบคุมสามารถรับรู้ถึงแรงสัมผัสผ่านการควบคุมแบบควบคุมการเคลื่อนที่ทางด้านมาสเตอร์ขณะที่ gripper มีการสัมผัสถกับสิ่งแวดล้อม โดยตัวควบคุมสามารถทำให้ระบบทำงานภายใต้ช่วงความถี่ตั้งแต่ 0 – 20 เฮิรตซ์ ตามที่ระบบต้องการ

#### 4.5 เสถีรภาพและสมการอนุของระบบ

ในความเป็นจริงการควบคุมระบบแบบปิดกันเดอร์เฟสเป็นการควบคุมแบบสองทาง (bilateral control) ซึ่งผลวัดของระบบทางด้านมาสเตอร์และ slave ไม่สามารถแยกกันได้เมื่อพิจารณาขณะที่ gripper มีการสัมผัสถูกสิ่งแวดล้อม ดังนั้นจึงต้องพิจารณาผลกระทบที่เกิดจากความแข็งของสิ่งแวดล้อม  $K_e$  ซึ่งมีผลกระทบต่อเสถีรภาพของระบบ เราสามารถตรวจสอบหาข้อบ่งบอกของเสถีรภาพได้จากสมการคุณลักษณะของ transfer function ของระบบแบบปิดตามรูป

4.13



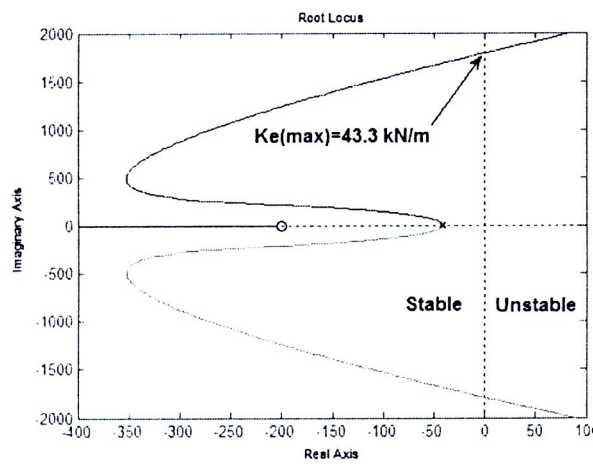
รูป 4.13 บล็อกไซโอดะแกรมของระบบแบบปิดสำหรับตรวจเสถีรภาพระบบจากผลกระทบของความแข็งของสิ่งแวดล้อม

จากรูป 4.13 สามารถหา transfer function ของระบบแบบปิดได้ตามสมการที่ 4.10

$$\frac{F_e(s)}{F_m^*(s)} = \frac{(K_e)G(s)}{1 + (K_e)G(s)} \quad (4.10)$$

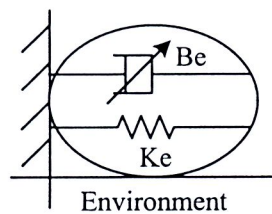
$$\text{โดยที่ } G(s) = \frac{0.1447 s^2 + (3.281 \times 10^5) s + 6.559 \times 10^7}{s^4 + (4567) s^3 + (4.091 \times 10^6) s^2 + (3.171 \times 10^8) s + 6.478 \times 10^9}$$

สมการคุณลักษณะของ transfer function สมการที่ (4.10) ของระบบแบบปิด กินเดอร์เฟสคือ  $1 + (K_e)G(s) = 0$  เสถีรภาพของระบบสามารถวิเคราะห์โดยวิธี root locus เมื่อ  $K_e = 0$  และปรับค่าเพิ่มขึ้นไปจนถึงค่าอนันต์  $K_e = \infty$  พบร่วมระบบจะเริ่มขาดเสถีรภาพที่ค่าความแข็งของวัสดุมีค่ามากกว่า 43.3 กิโลนิวตัน/เมตร ดังแสดงในรูป 4.14

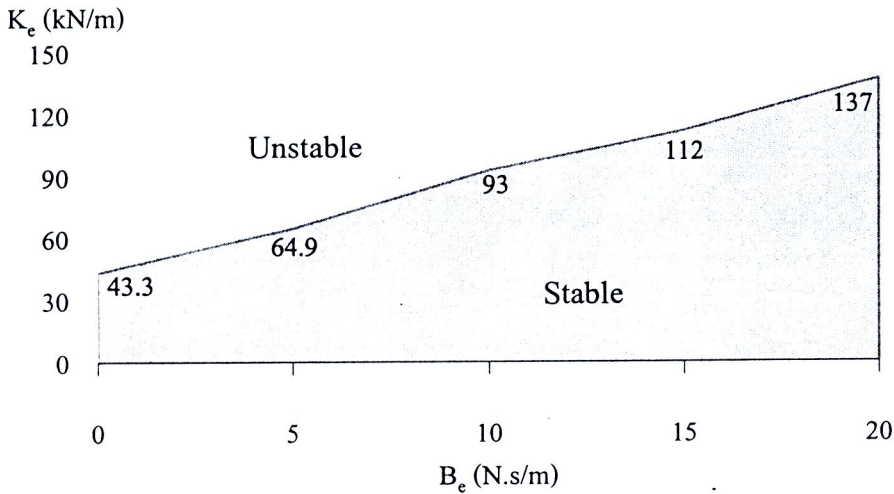


รูป 4.14 ขอบเขตของเสถียรภาพของระบบเนื่องจากค่าความแข็งของสิ่งแวดล้อม  $K_e$  (N/m)

พิจารณาผลกระบวนการจากความแข็งของวัตถุต่อเสถียรภาพของระบบสำหรับตัวควบคุมที่ได้ออกแบบไว้ในหัวข้อที่ 4.3 และหัวข้อที่ 4.4 เมื่อวัตถุหรือสิ่งแวดล้อมถูกพิจารณาให้มีแบบจำลองเป็นสปริงและตัวหน่วง ดังรูป 4.15



รูป 4.15 แบบจำลองของสิ่งแวดล้อมที่ประกอบด้วยสปริงและตัวหน่วง



รูป 4.16 แสดงความสัมพันธ์ระหว่าง  $B_e$  และ  $K_e$  ของวัตถุที่มีผลกระแทกต่อเสถียรภาพของระบบ

จากการวิเคราะห์แบบจำลองทางคณิตศาสตร์ของระบบพบว่า ค่าความหน่วงมีผลกระแทกต่อเสถียรภาพคือ เมื่อค่าสัมประสิทธิ์ของตัวหน่วงมีค่าเพิ่มขึ้นจะทำให้ขอบเขตของเสถียรภาพของระบบกว้างขึ้นตามไปด้วย ดังแสดงในรูป 4.16 อย่างไรก็ตามในทางปฏิบัตินั้นเราไม่สามารถควบคุมคุณสมบัติของสิ่งแวดล้อมที่จะทดสอบได้ ดังนั้นระบบจึงต้องการการควบคุมที่มีความซับซ้อนมากขึ้นเพื่อแก้ไขปัญหาขอบเขตเสถียรภาพ

#### 4.6 การควบคุมแบบ Time-Domain Passivity Control

การควบคุมตามหลักการ passivity control เป็นวิธีหนึ่งที่สามารถปรับปรุงเสถียรภาพของระบบได้ B.Hannaford ได้นำเสนอวิธีการเชิงพลังงานนี้มาใช้ในระบบแอปติกในปี ค.ศ.2002 ซึ่งมีข้อดีคือ สามารถใช้ได้กับระบบเชิงเส้นและไม่เชิงเส้น (non-linear system) ได้ นอกจากนั้นยังไม่จำเป็นต้องทราบแบบจำลองทางคณิตศาสตร์ของระบบ โดยทั่วไปหลักการควบคุม Passivity นั้น เหมาะสมสำหรับนำมาใช้งานกับระบบที่มีความซับซ้อน เช่น วงจรไฟฟ้าที่มีการเชื่อมต่อกับระบบย่อยหลายระบบ

##### 4.6.1 คุณสมบัติ passive ของระบบ

คุณสมบัติ passive ของระบบนั้นอ้างอิงกับพลังงานสุทธิ (net energy) ที่ไหลเข้าหรือออกจากระบบ โดยมีการกำหนดให้พลังงานมีค่าเป็นบวกเมื่อพลังงานเข้าสู่ระบบและเป็นลบเมื่อพลังงานออกจากระบบ ระบบที่มีคุณสมบัติเป็น passive นั้นพลังงานรวมจะไหลเข้าสู่ระบบซึ่งหมายถึงระบบ dissipate energy ในทางกลับกันหากพลังงานไหลออกจากระบบซึ่งหมายถึงระบบ

generate energy ระบบจะไม่มีคุณสมบัติเป็น passive สามารถพิจารณาพลังงานที่ผ่านจุดเข้าออก ระบบตามสมการดังนี้

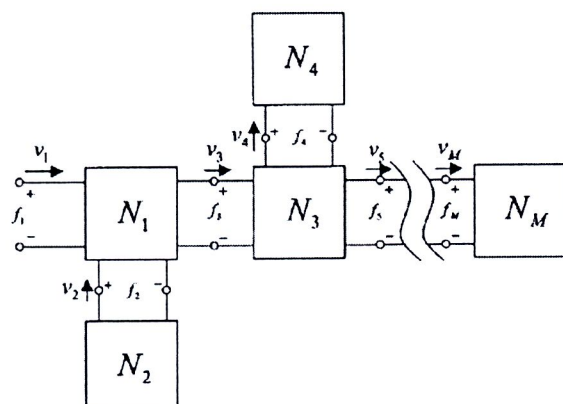
$$\int_0^t f(\tau) v(\tau) d\tau + E(0) \geq 0, \quad \forall t \geq 0 \quad (4.11)$$

โดยพลังงานที่ไหลเข้าหรือออกจากระบบสามารถคำนวณได้จากแรง  $f(\tau)$  และความเร็ว  $v(\tau)$  ที่กระทำกับระบบที่เวลา  $\tau$  ในพจน์แรกของสมการที่ (4.11) แสดงถึงพลังงานที่เกิดขึ้นของระบบ ตั้งแต่เวลาท่ากับศูนย์จนถึงเวลา  $t$  เมื่อพิจารณาเป็นระบบเวลาต่อเนื่อง (continuous time) โดยที่  $E(0)$  คือพลังงานเริ่มต้นของระบบซึ่งกำหนดให้มีค่าเป็นศูนย์ อย่างไรก็ตามในระบบจริงที่ใช้ในการทดสอบการวัดค่าพลังงานเพื่อนำมาประมาณผลจะเป็นระบบเวลาไม่ต่อเนื่อง (discrete time) ซึ่งสามารถเขียนสมการของพลังงานสุทธิ  $E_{obs}(n)$  ของระบบจากสมการที่ (4.11) ได้ในรูป

$$E_{obs}(n) = \Delta T \sum_{k=0}^n f(k) \dot{x}(k) \quad (4.12)$$

ในการสังเกตค่า  $E_{obs}(n)$  ในสมการ (4.12) ถูกเรียกว่า Passivity Observer (PO)

พิจารณาตัวอย่างระบบเครือข่ายที่มีระบบย่อยจำนวน  $M$  ระบบดังรูป 4.17



รูป 4.17 ตัวอย่างของระบบเครือข่าย  $N$  ที่ประกอบด้วยระบบย่อยจำนวน  $M$  ระบบ (ที่มา : B.Hannaford ค.ศ. 2002)

จากรูปค่าพลังงานที่ผ่านเข้าออกแต่ละระบบสามารถหาได้ดังนี้

$$E_{N1}(n) = \Delta T \sum_{k=0}^n [f_1(k)v_1(k) + f_2(k)v_2(k) - f_3(k)v_3(k)]$$

$$E_{N2}(n) = -\Delta T \sum_{k=0}^n f_2(k)v_2(k)$$

$$E_{N3}(n) = \Delta T \sum_{k=0}^n [f_3(k)v_3(k) - f_4(k)v_4(k) - f_5(k)v_5(k)]$$

$$E_{N4}(n) = \Delta T \sum_{k=0}^n f_4(k)v_4(k)$$

...

$$E_{NM}(n) = \Delta T \sum_{k=0}^n f_M(k)v_M(k)$$



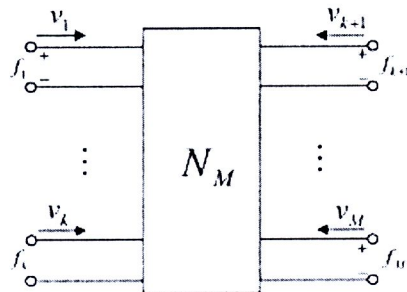
โดยค่าพลังงานรวมคือ

$$E_{obsv}(n) = E_{N1}(n) + E_{N2}(n) + E_{N3}(n) + E_{N4}(n) + \dots + E_{NM}(n) \quad (4.13)$$

$$E_{obsv}(n) = \Delta T \sum_{k=0}^n [f_1(k)v_1(k)] \quad (4.14)$$

จากสมการที่ (4.14) จะเห็นว่าค่าพลังงานรวมของระบบมีค่าเท่ากับพลังงานที่ไหลเข้าออกจุดของระบบที่เปิดสู่ภายนอก (opened end) ที่ระบบย่อย  $N_1$  ดังนั้น passivity ของระบบสามารถสังเกตได้ที่ระบบย่อย  $N_1$

สำหรับตัวอย่างระบบที่มี open port จำนวน M-port ดังรูป 4.18



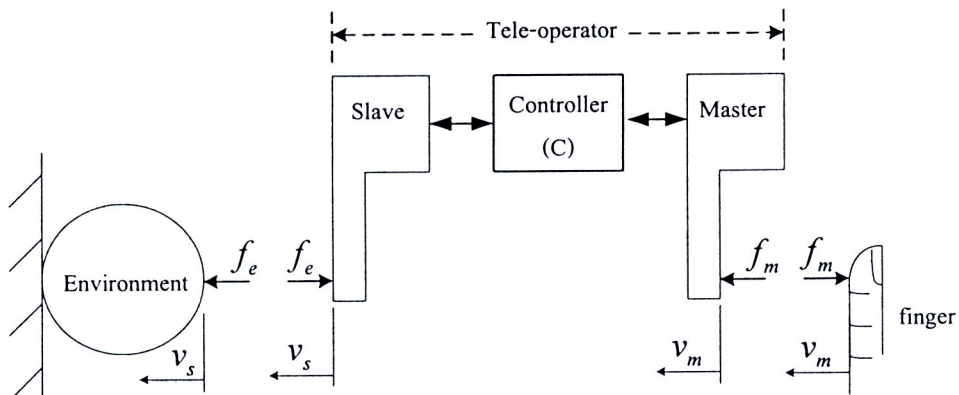
รูป 4.18 ตัวอย่างของระบบ M-port network (ที่มา : B.Hannaford ค.ศ.2004)

จากสมการ (4.11) หรือ (4.12) จะสามารถคำนวณค่า PO ของระบบเป็น

$$E_{obsv}(n) = \Delta T \sum_{k=0}^n [f_1(k)v_1(k) + \dots + f_M(k)v_M(k)] \quad (4.15)$$

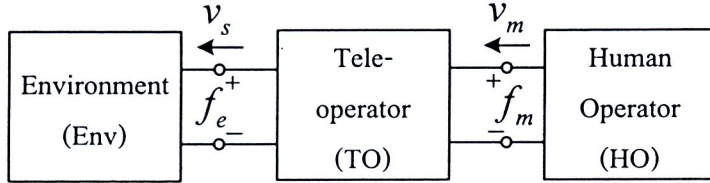
#### 4.6.2 แบบจำลอง 2-port network ของระบบแฮปติก

พิจารณาระบบแฮปติกในรูป 4.19 เมื่อผู้ควบคุมทำการควบคุมระบบแฮปติกให้ gripper เคลื่อนที่ไปสัมผัสกับลิ่งแวดล้อมจะเกิดแรงปฏิกิริยา  $f_m$ ,  $f_e$  และความเร็ว  $v_m$ ,  $v_s$  ทางด้านมาสเตอร์และ slave ตามลำดับ



รูป 4.19 แผนผังวัตถุอิสระแสดงทิศทางของแรงปฏิกิริยาและความเร็วของระบบแฮปติก

โดยรูป 4.19 สามารถเขียนแบบจำลอง 2-port network ของระบบเชปติกได้ตามรูป 4.20

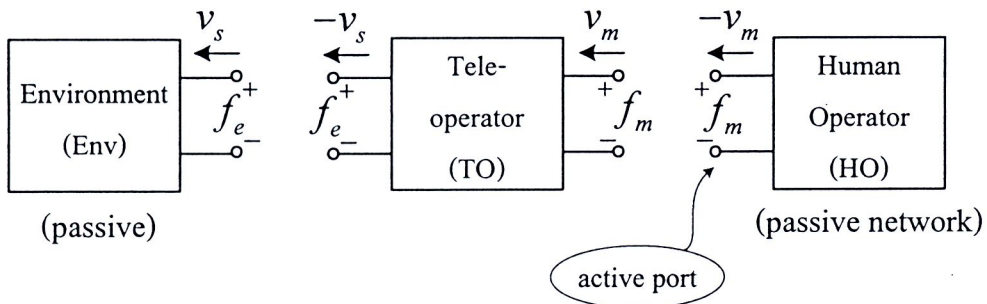


รูป 4.20 ระบบเชปติกในลักษณะ 2-port network

รูป 4.20 แสดงระบบเชปติกในลักษณะ 2-port network โดยระบบถูกพิจารณาให้ประกอบด้วยระบบย่อย 3 ระบบคือ ระบบของสิ่งแวดล้อม ระบบในส่วนของ Tele-operator และระบบของผู้ควบคุมตามลำดับ ซึ่งสามารถวิเคราะห์การให้ผลเข้าหรือออกของพลังงานในแต่ละส่วน เพื่อตรวจสอบเสถียรภาพของระบบได้

#### 4.6.3 เงื่อนไขเสถียรภาพเชิง Passivity

ในระบบเชปติกอินเตอร์เฟส โดยทั่วไปนั้นสิ่งแวดล้อมและมือของผู้ควบคุมถูกพิจารณาให้มีคุณสมบัติเป็น passive ดังนั้นเราสามารถตรวจสอบเสถียรภาพของระบบเชปติกได้โดยมีเงื่อนไขที่จำเป็นและเพียงพอสำหรับเสถียรภาพคือ ระบบจะมีเสถียรภาพก็ต่อเมื่อระบบในส่วนของ Tele-operator มีคุณสมบัติเป็น passive [3, 9]



รูป 4.21 ระบบ Tele-operator ในลักษณะ 2-port network

จากรูป 4.21 ค่า PO ของระบบ Tele-operator สามารถคำนวณได้จาก

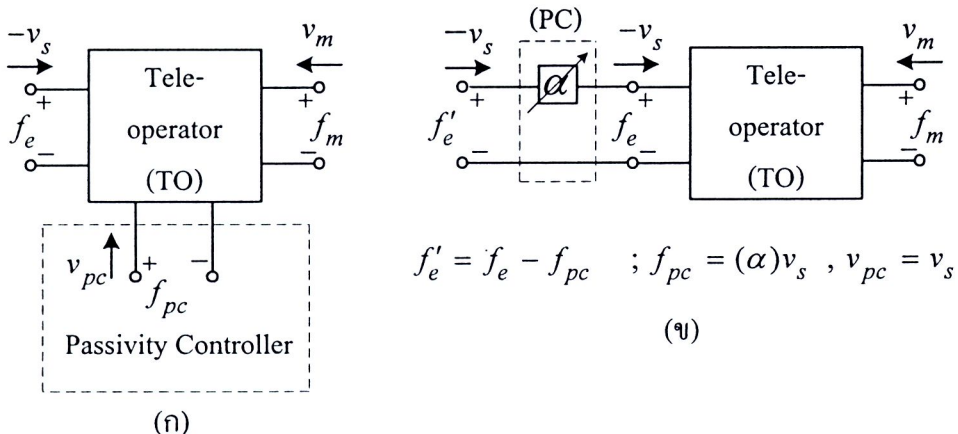
$$\begin{aligned}
 E_{obsv}(t) &= \int_0^t f_m(\tau)v_m(\tau)d\tau - \int_0^t f_e(\tau)v_s(\tau)d\tau \\
 &= \int_0^{t-\Delta t} f_m(\tau)v_m(\tau)d\tau + \int_{t-\Delta t}^t f_m(\tau)v_m(\tau)d\tau - \int_0^{t-\Delta t} f_e(\tau)v_s(\tau)d\tau - \int_{t-\Delta t}^t f_e(\tau)v_s(\tau)d\tau \\
 E_{obsv}(n) &= E_{obsv}(n-1) + f_m(n)v_m(n)\Delta T - f_e(n)v_s(n)\Delta T
 \end{aligned} \tag{4.16}$$

จากสมการที่ (4.16) ค่า  $E_{obsv}(n)$  สามารถวัดได้จากการทดสอบในเวลาจริง (real-time) ถ้า  $E_{obsv}(n) \geq 0$  ระบบจะมีคุณสมบัติเป็น passive ซึ่งสามารถระบุได้ว่าระบบแฮปติกมีเสถียรภาพ

#### 4.6.4 ตัวควบคุม Passivity

ในบางกรณี เช่น เมื่อผู้ควบคุมทำการควบคุมระบบแฮปติกให้ gripper เคลื่อนที่ไปสัมผัสกับวัตถุแข็งกรึงทำให้ค่า  $E_{obsv}(n) < 0$  ระบบจะไม่มีคุณสมบัติเป็น passive แต่จะ generate energy ในปริมาณเท่ากับ  $-E_{obsv}(n)$  ซึ่งหมายถึงระบบแฮปติกจะไม่มีเสถียรภาพ ดังนั้นจะต้องเพิ่มตัวควบคุมให้กับระบบเพื่อทำหน้าที่ dissipate energy ในปริมาณที่เท่ากับระบบได้สร้างพลังงานออกมาน โดยตัวควบคุมนี้เรียกว่า Passivity Controller (PC) และมีการเชื่อมต่อเข้ากับระบบดังรูป

4.22



รูป 4.22 Passivity controller สำหรับระบบ Tele-operator

รูป 4.22 (ก) แสดงการเพิ่มตัวควบคุม passivity ให้กับระบบ ซึ่งมีลักษณะเป็น virtual port โดยงานวิจัยนี้ได้ใช้ตัวควบคุม passivity ทำการควบคุมทางด้านสเลฟ เมื่อ  $f_{pc}$  คือแรงที่เกิดจากตัวควบคุม passivity และความเร็ว  $v_{pc}$  มีค่าเท่ากับความเร็วของ gripper ด้านสเลฟ  $v_s$  โดยแรงที่เกิดจากตัวควบคุม passivity และความเร็ว  $v_{pc}$  มีค่าเท่ากับความเร็วของ gripper ด้านสเลฟ  $v_s$  โดยแรงที่เกิดจากตัวควบคุม passivity จะมีขนาดเปลี่ยนแปลงไปตามค่า  $\alpha$  ซึ่งเป็นค่าสัมประสิทธิ์ของตัวหน่วยที่สามารถปรับเปลี่ยนค่าตามพลังงานที่ระบบสร้างขึ้นมาเมื่อระบบไม่มีคุณสมบัติเป็น passive สามารถเขียนให้อยู่ในลักษณะ 2-port network ดังรูป 4.22 (ข) โดยที่  $f'_e$  คือแรงที่ถูกปรับปรุงโดยตัวควบคุม passivity ที่ใช้สำหรับควบคุมมอเตอร์ด้านสเลฟและสามารถหาค่า PO ของระบบได้ดังนี้

$$\begin{aligned}
 E_{obsv}(t) &= \int_0^t f_m(\tau) v_m(\tau) d\tau - \int_0^t f_e(\tau) v_s(\tau) d\tau + \int_0^t f_{pc}(\tau) v_s(\tau) d\tau \quad , \quad f_{pc} = (\alpha) v_s, \quad v_{pc} = v_s \\
 &= \int_0^t f_m(\tau) v_m(\tau) d\tau + \int_0^t (f_{pc}(\tau) - f_e(\tau)) v_s(\tau) d\tau \quad , \quad -f'_e = f_{pc} - f_e \\
 &= \int_0^{t-\Delta t} f_m(\tau) v_m(\tau) d\tau + \int_{t-\Delta t}^t f_m(\tau) v_m(\tau) d\tau \\
 &\quad - \int_0^{t-\Delta t} f_e(\tau) v_s(\tau) d\tau - \int_{t-\Delta t}^t f_e(\tau) v_s(\tau) d\tau \\
 &\quad + \int_0^{t-\Delta t} \alpha(\tau) v_s^2(\tau) d\tau + \int_{t-\Delta t}^t \alpha(\tau) v_s^2(\tau) d\tau \\
 E_{obsv}(n) &= E_{obsv}(n-1) + f_m(n) v_m(n) \Delta T - f_e(n) v_s(n) \Delta T + \alpha(n-1) v_s^2(n-1) \Delta T \quad (4.17)
 \end{aligned}$$

โดยที่ Passivity controller มีเงื่อนไขการทำงานดังนี้

$$\alpha(n) = -\frac{E_{obsv}(n)}{v_s^2(n) \Delta T} \quad \text{เมื่อ } E_{obsv}(n) < 0$$

$$\alpha(n) = 0 \quad \text{เมื่อ } E_{obsv}(n) \geq 0$$

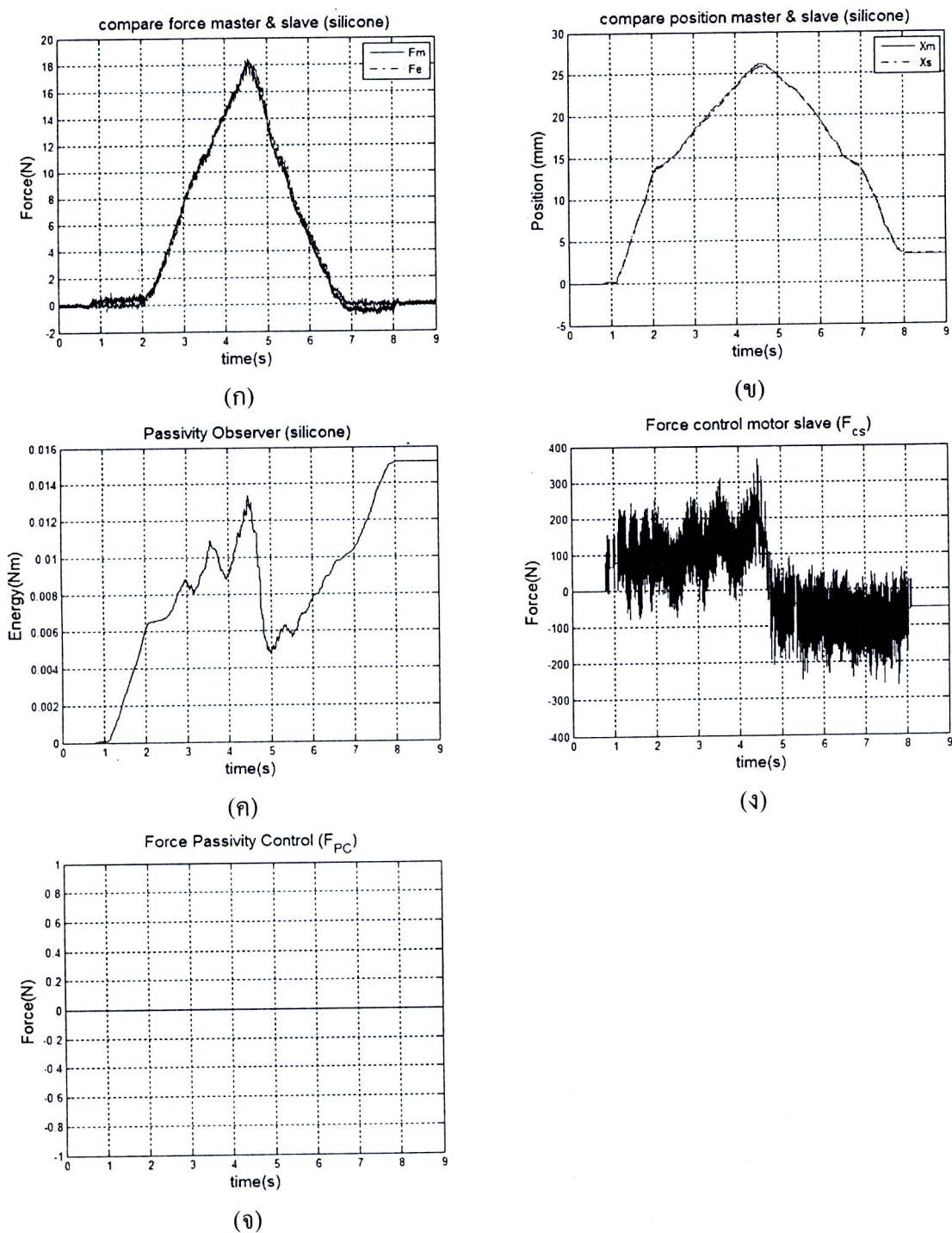
โดยตัวควบคุมจะทำงานเมื่อระบบไม่มีคุณสมบัติเป็น passive หรือขณะที่ค่า PO ของระบบมีค่าน้อยกว่าศูนย์ แรงที่เกิดจากตัวควบคุม passivity จะมีขนาดเปลี่ยนแปลงไปตามค่า  $\alpha$  ซึ่งเป็นค่าสัมประสิทธิ์ของตัวหน่วยที่สามารถปรับเปลี่ยนค่าตามค่าพลังงานที่ระบบสร้างขึ้นมาค

เท่ากับ  $-E_{obs}(n)$  โดยแรงที่เกิดจากตัวควบคุมจะควบคุมให้ระบบมีค่า  $E_{obs}(n)=0$  ซึ่งทำให้ระบบมีเสถียรภาพ

#### 4.7 การทดสอบกับแท่นทดสอบ

ในการทดสอบระบบเชิงปริมาณที่ได้ออกแบบและควบคุมนั้นประกอบด้วย 3 ส่วนหลัก ๆ ในส่วนแรกเป็นการทดสอบระบบโดยทดสอบกับสิ่งแวดล้อม 2 ชนิด คือ วัตถุอ่อนตัวประภากชิลิโคลนซึ่งมีค่าความแข็งตัว และก้อนโลหะซึ่งมีค่าความแข็งสูงมากถูกสมมุติให้เป็นวัตถุแข็งเกร็ง โดยการทดสอบในส่วนแรกนี้มีจุดประสงค์เพื่อคุณภาพกรรมของผลการตอบสนองและตรวจสอบค่า PO ของระบบเมื่อระบบไม่มีการควบคุม passivity ส่วนที่สองเป็นการทดสอบระบบกับวัตถุอ่อนตัวประภากชิลิโคลนและก้อนโลหะเพื่อคุณภาพการตอบสนองของระบบเมื่อระบบมีการควบคุม passivity และการทดสอบในส่วนที่สามเป็นการทดสอบเพื่อตรวจสอบสมรรถนะของระบบ โดยทดสอบระบบเชิงปริมาณกับสปริงตัวอย่างที่มีค่าความแข็งต่างกันจำนวน 10 ค่าเมื่อระบบไม่ใช้การควบคุม passivity และใช้การควบคุม passivity ตามลำดับ ซึ่งให้ผลการทดสอบดังนี้

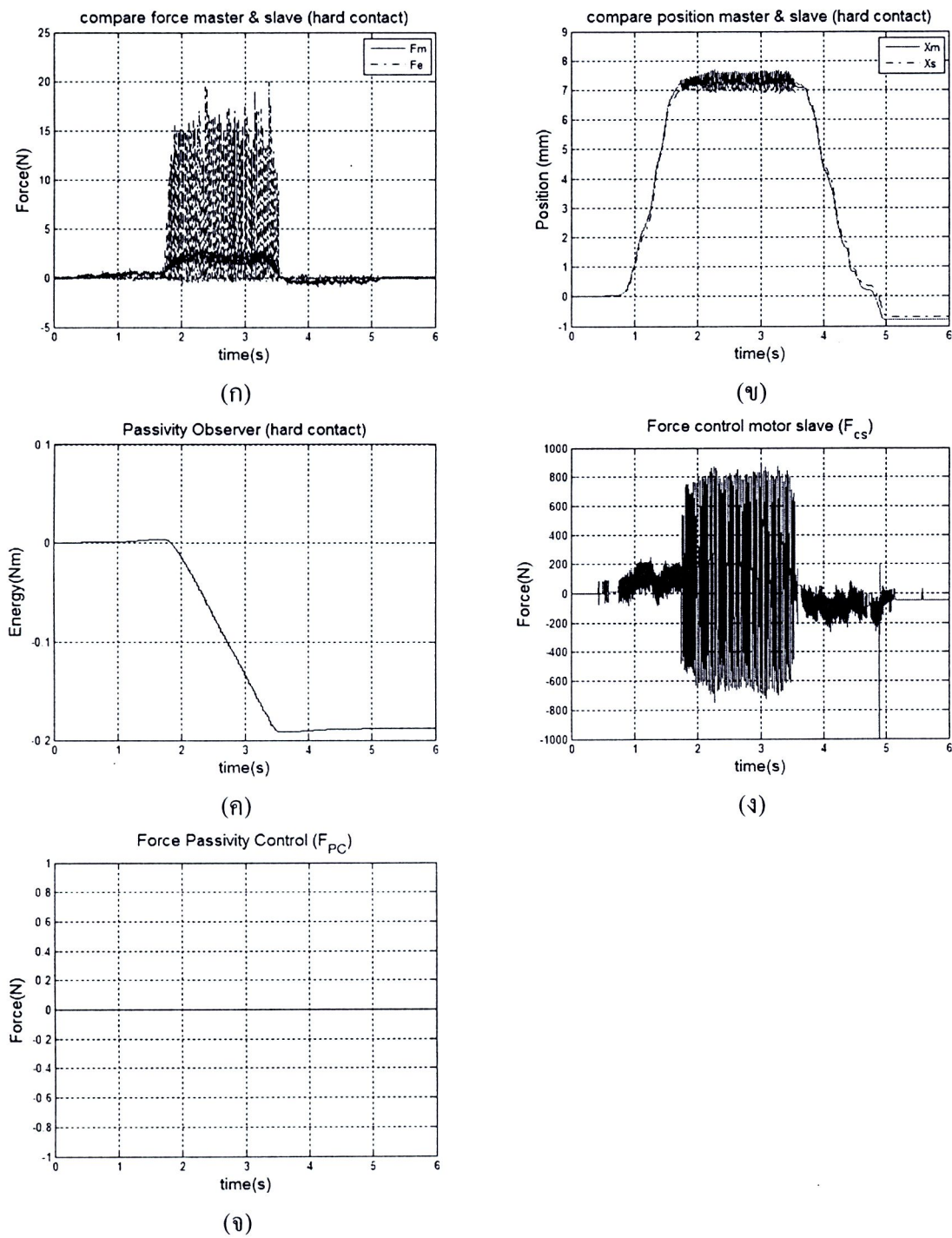
สำหรับในส่วนแรกได้ทดสอบระบบเชิงปริมาณกับวัตถุอ่อนตัวประภากชิลิโคลน โดยที่ตัวควบคุม passivity "ไม่ทำงานเพื่อคุณภาพการตอบสนองและตรวจสอบค่า PO ของระบบ ซึ่งให้ผลการทดสอบตามรูป 4.23



รูป 4.23 ผลการทดสอบกรณีทดสอบระบบกับวัสดุประเทศชิลิโคลนเมื่อไม่ใช้ PC (ก) ผลการติดตามของสัญญาณแรง (ข) ผลการติดตามของสัญญาณตำแหน่ง (ค) ค่า PO ของระบบ (ง) สัญญาณควบคุมมอเตอร์ด้านสเลฟ (จ) สัญญาณควบคุม passivity (PC)

จากผลการทดสอบให้ผลที่สอดคล้องกับทฤษฎีคือ เมื่อนำวัตถุประเทชิลิโคลนซึ่งเป็นวัตถุที่มีความอ่อนตัวมาทดสอบ ผลการตอบสนองของระบบจะมีการสัมผัสกับวัตถุอ่อนตัวแสดงดังรูป 4.23 โดยรูป 4.23 (ก) แสดงผลการติดตามของสัญญาณแรงและรูป 4.23 (ข) แสดงผลการติดตามของสัญญาณตำแหน่งระหว่างด้านมาสเตอร์และสเตฟตามลำดับ จะสังเกตได้ว่าที่เวลาวินาทีที่ 2 เป็นช่วงที่มีการเปลี่ยนแปลงจากการเคลื่อนที่อย่างอิสระเป็นการสัมผัสกับวัตถุอ่อนตัวจนถึงเวลาวินาทีที่ 7 ในช่วงเวลาดังกล่าวค่า PO ของระบบมีค่ามากกว่าศูนย์ดังแสดงในรูป 4.23 (ค) บ่งบอกถึงระบบมีเสถียรภาพ โดยมีสัญญาณควบคุมมอเตอร์ด้านสเตฟดังรูป 4.23 (ง) และระบบไม่ใช้การควบคุม passivity แสดงดังรูป 4.23 (จ) ทำให้สัญญาณของแรงและตำแหน่งการเคลื่อนที่ของแขนควบคุมและ gripper ทางด้านสเตฟสามารถติดตามกันได้อย่างมีเสถียรภาพ ดังนั้นจะเห็นว่าผู้ควบคุมทำการควบคุมแขนควบคุมการเคลื่อนที่ทางด้านมาสเตอร์ทำให้ gripper ทางด้านสเตฟเคลื่อนที่ไปสัมผัสกับวัตถุจึงทำให้ผู้ควบคุมสามารถรู้สึกถึงแรงด้านเหมือนได้สัมผัสกับวัตถุนั้นด้วยตนเองผ่านการควบคุมอุปกรณ์แฮปติกได้

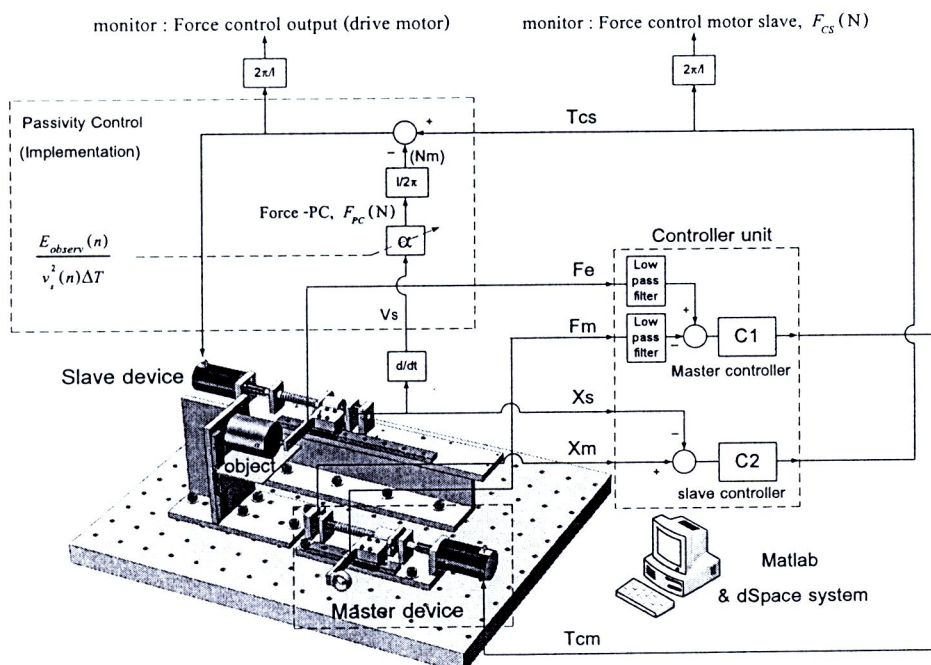
ต่อมาเป็นการทดสอบระบบแฮปติกับวัตถุแข็งเกร็งโดยใช้ก้อนโลหะขนาด  $2 \times 5 \times 6$  ลูกบาศก์เซนติเมตร สำหรับทดสอบระบบ โดยตัวควบคุม passivity ไม่ทำงานเพื่อคุณลักษณะที่เซนเซอร์ติดตามและตรวจสอบค่า PO ของระบบ ซึ่งให้ผลการทดสอบตามรูป 4.24



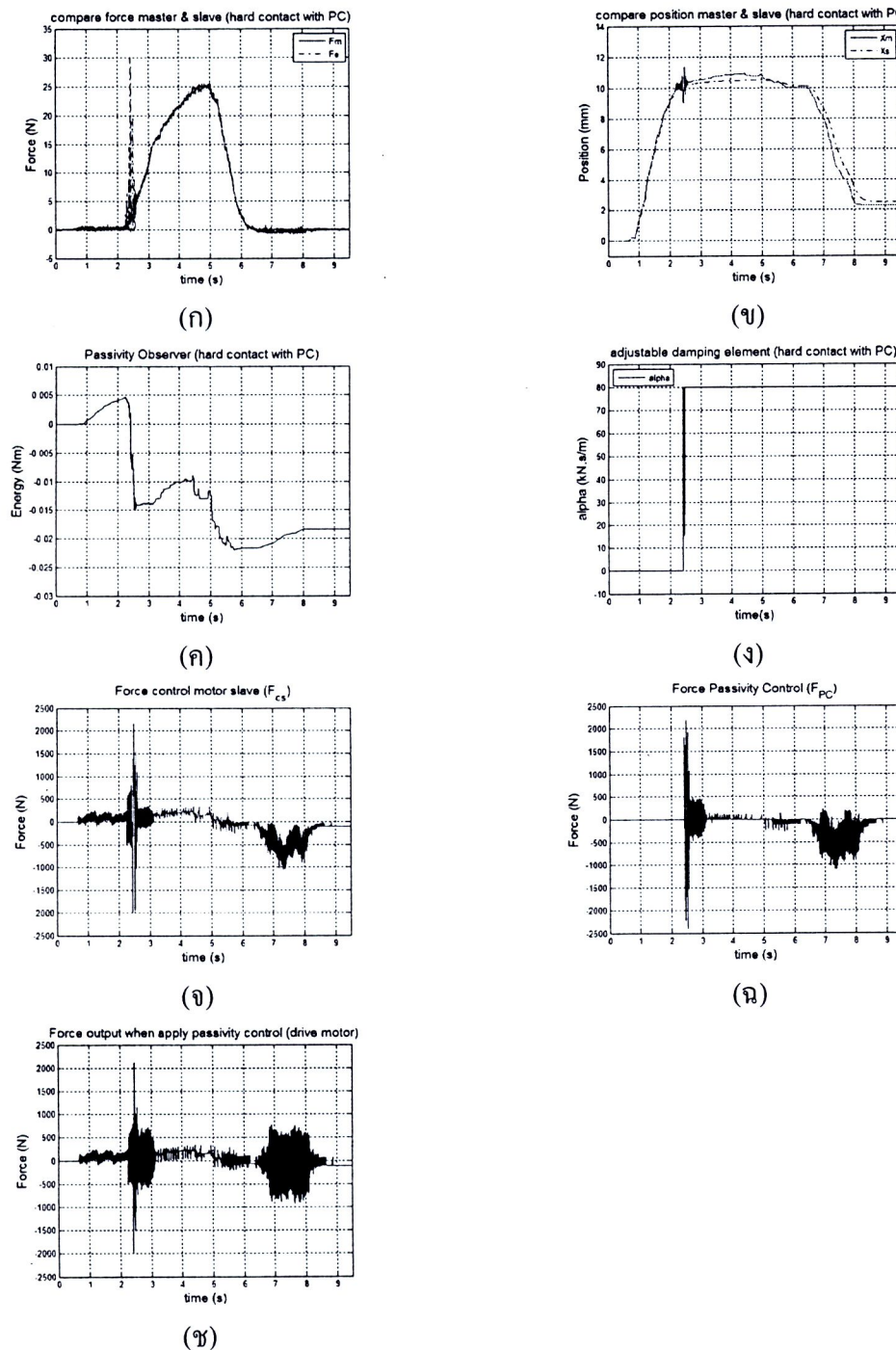
รูป 4.24 ผลการทดสอบกรณีทดสอบระบบกับวัตถุแข็งเครื่องเมื่อไม่ใช้ PC (η) ผลการติดตามของสัญญาณแรง (ψ) ผลการติดตามของสัญญาณตำแหน่ง (κ) ค่า PO ของระบบ (ς) สัญญาณควบคุมโดยเตอร์ค้านสเลฟ (ζ) สัญญาณควบคุม passivity (PC)

รูปที่ 4.24 แสดงผลการตอบสนองของระบบขณะที่มีการสัมผัสกับวัตถุแข็งเกร็ง โดยรูป 4.24 (ก) แสดงผลการติดตามของสัญญาณแรงและรูป 4.24 (ข) แสดงผลการติดตามของสัญญาณตำแหน่ง ระหว่างด้านมาสเตอร์และ slave ตามลำดับ ระบบแฮปติกได้ถูกผู้ควบคุมทำการควบคุมแบบนี้ ด้านมาสเตอร์ทำให้ gripper ด้าน slave เริ่มมีการเคลื่อนที่ตามตัวแปรเวลาวินาทีที่ 0.5 ไปจนถึงวินาทีที่ 1.75 โดยไม่มีการสัมผัสกับสิ่งแวดล้อม หลังจากนั้นการเคลื่อนที่ของ gripper ด้าน slave มีการเปลี่ยนแปลงจากเคลื่อนที่อย่างอิสระเป็นการสัมผัสกับวัตถุแข็งเกร็งจนถึงเวลาวินาทีที่ 3.55 ซึ่งความแข็งของวัตถุมีค่าสูงมาก ในช่วงเวลาดังกล่าวค่า PO ของระบบมีค่าลดลงและน้อยกว่าศูนย์ดังแสดงในรูป 4.24 (ก) บ่งบอกถึงระบบขาดเสถียรภาพ โดยมีสัญญาณควบคุมมอเตอร์ด้าน slave แสดงดังรูป 4.24 (ง) และระบบไม่ใช้การควบคุม passivity แสดงดังรูป 4.24 (จ) ทำให้ดำเนินการเคลื่อนที่ของ gripper ทั้งทางด้านมาสเตอร์และ slave เกิดการสั่น ซึ่งให้ผลตามที่คาดการณ์จากทฤษฎีคือความแข็งของสิ่งแวดล้อมเป็นปัจจัยหนึ่งที่ทำให้ระบบขาดเสถียรภาพซึ่งทำให้เป็นข้อจำกัดของสมรรถนะของระบบด้วย ดังนั้นระบบแฮปติกต้องการการควบคุม passivity สำหรับทดสอบกับวัตถุแข็งเกร็งเพื่อปรับปรุงเสถียรภาพของระบบ

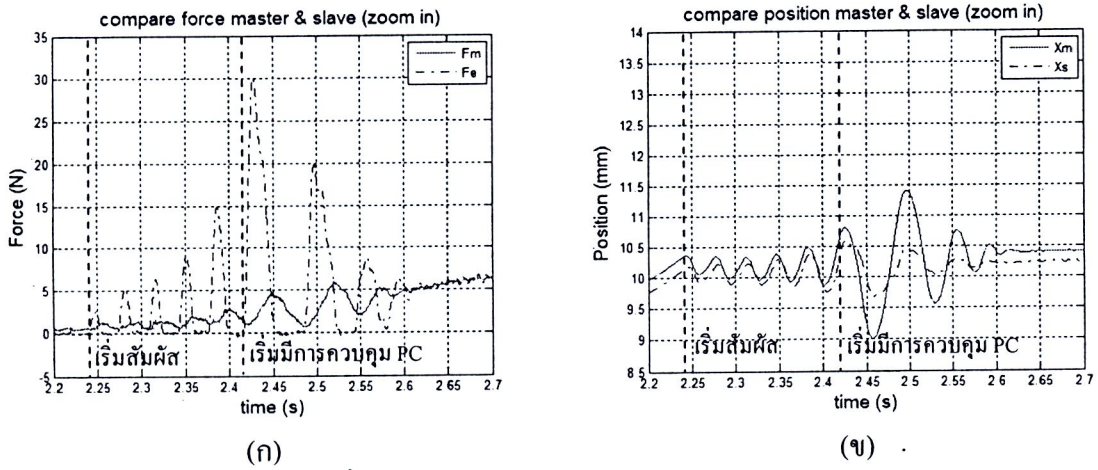
การทดสอบในส่วนที่สองเราสามารถสร้างตัวควบคุม passivity ให้กับระบบเพื่อปรับปรุงเสถียรภาพของระบบได้โดยมีลักษณะการเชื่อมต่อตัวควบคุมเข้าสู่ระบบแฮปติกอินเตอร์เฟสได้ดังรูป 4.25



รูป 4.25 การเชื่อมต่อตัวควบคุม passivity ให้กับระบบแบบแฮปติกอินเตอร์เฟส



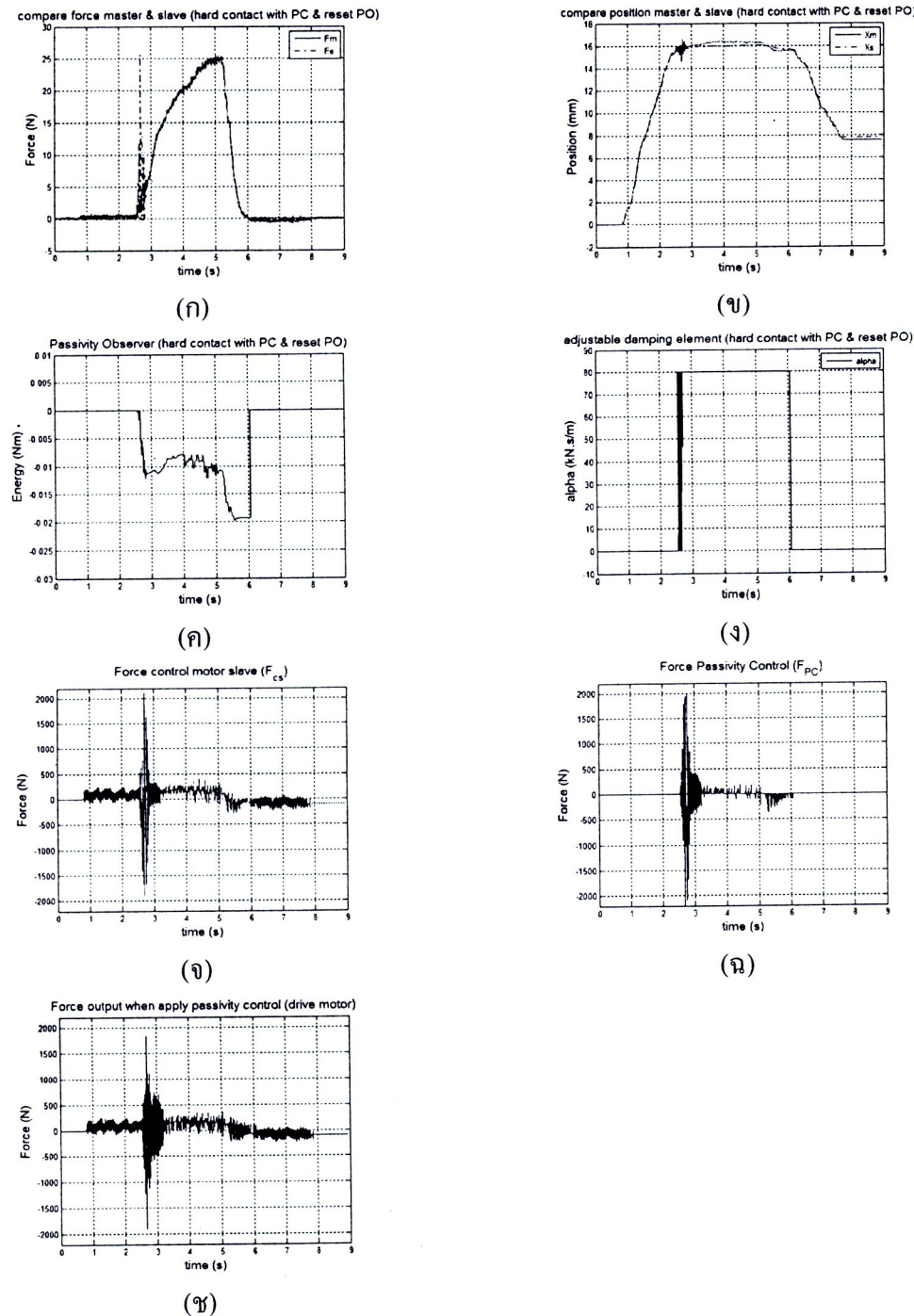
รูป 4.26 ผลการทดสอบกรณีทดสอบระบบกับวัตถุแข็งเมื่อใช้ PC (ก) ผลการติดตามของสัญญาณแรง (ข) ผลการติดตามของสัญญาณตำแหน่ง (ค) ค่า PO ของระบบ (จ) ค่าตัวหน่วยของตัวควบคุม passivity (ฉ) สัญญาณควบคุมมอเตอร์ค้างสเลฟ (ก) สัญญาณควบคุมจากตัวควบคุม passivity (PC) (ช) สัญญาณควบคุมอาจเดาต์พุตสำหรับควบคุมมอเตอร์ค้างสเลฟ



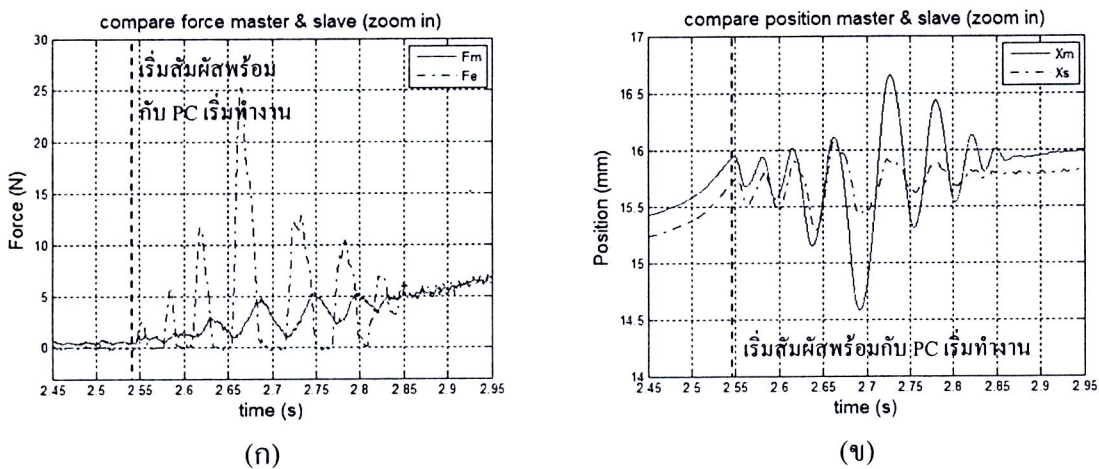
รูป 4.27 ผลการติดตามของสัญญาณแรงและตำแหน่งการเคลื่อนที่ขยายในช่วงเวลาวินาทีที่ 2.2 ถึง วินาทีที่ 2.7 กรณีทดสอบกับวัตถุแข็งเกร็งเมื่อใช้ PC

รูป 4.26 แสดงผลการตอบสนองของระบบกรณีทดสอบระบบกับวัตถุแข็งเกร็งเมื่อใช้ตัวควบคุม passivity โดยรูป 4.26 (ก) แสดงผลการติดตามของสัญญาณแรงและรูป 4.26 (ข) แสดงผลการติดตามของสัญญาณตำแหน่งระหว่างค้านมาสเตอร์และสเลฟ รูป 4.26 (ก) แสดงค่า PO ของระบบ รูป 4.26 (ข) แสดงค่าตัวหน่วยของตัวควบคุม passivity ซึ่งในทางปฏิบัติออกแบบให้ถูกจำกัดค่าสูงสุดที่ไว้ที่ 80,000 นิวตัน-วินาทีต่อมเมตร เนื่องจากขณะที่ gripper สัมผัสถกับสิ่งแวดล้อมความเร็วของ gripper มีค่าเข้าสู่ศูนย์ทำให้ค่าตัวหน่วยของตัวควบคุม passivity ที่พิจารณาได้จากสมการที่ 4.17 มีค่าเข้าสู่ค่าอนันต์ทำให้ระบบขาดเสถียรภาพ รูป 4.26 (จ) แสดงสัญญาณควบคุมมอเตอร์ค้านสเลฟ รูป 4.26 (ฉ) แสดงสัญญาณควบคุมจาก passivity (PC) และรูป 4.26 (ช) แสดงสัญญาณควบคุมเอ้าเด็ฟที่มีความถี่ต่ำกว่าค้านสเลฟ รูป 4.27 แสดงผลการติดตามของสัญญาณแรงและตำแหน่งการเคลื่อนที่ขยายในช่วงเวลาวินาทีที่ 2.2 ถึงวินาทีที่ 2.7 ตามลำดับ โดยระบบแฮปปิดิกได้ถูกผู้ควบคุมทำการควบคุมแขนควบคุมทางค้านมาสเตอร์ทำให้ gripper ทางค้านสเลฟเริ่มนีการเคลื่อนที่ตามตั้งแต่เวลาวินาทีที่ 0.8 ไปจนถึงวินาทีที่ 2.24 โดยไม่มีการสัมผัสถกับสิ่งแวดล้อม ในช่วงนี้ค่า PO มีค่ามากกว่าศูนย์บ่งบอกว่าระบบขังคงมีเสถียรภาพ หลังจากนั้น gripper เริ่มนีการสัมผัสถกับวัตถุแข็งเกร็งทำให้ gripper เกิดการสั่นและค่า PO เริ่มนีกำลังจันกระทั้งเวลาวินาทีที่ 2.43 ค่า PO เริ่มนีค่าน้อยกว่าศูนย์แสดงดังรูป 4.26 (ก) ทำให้ตัวควบคุม passivity เริ่มทำงานดังรูป 4.26 (ฉ) โดยสัญญาณควบคุมมีการแก่วงในช่วงเริ่มต้นและมีขนาดลดลง จนกระทั้งระบบเริ่มเข้าสู่เสถียรภาพในวินาทีที่ 2.6 ตามลำดับ อย่างไรก็ตามการทำงานของระบบ

ขังไม่สมบูรณ์เนื่องจากตัวควบคุม passivity “ไม่ได้ทำงานโดยทันทีเมื่อ gripper เคลื่อนที่ไปสัมผัสกับวัตถุ นอกจากนั้นในวินาทีที่  $\tau = 6.5$  พน ว่า gripper ถูกควบคุมให้ไม่มีการสัมผัสกับวัตถุแต่ตัวควบคุม passivity ยังคงทำงานอยู่ ซึ่งมีผลกระทบทำให้การติดตามของตำแหน่งระหว่างแขนควบคุมทางด้านมาสเตอร์และ gripper ด้านสเตฟแฟล์ดังแสดงในรูป 4.26 (x) ดังนั้นจึงต้องทำการแก้ไขโดยการ reset ค่า PO ให้มีค่าเป็นศูนย์ขณะที่ gripper ไม่มีการสัมผัสกับวัตถุ โดยใช้สัญญาณแรงทางด้านสเตฟ  $f_e$  ที่สามารถวัดค่าได้เป็นตัว reset ค่า PO โดยพิจารณาหากค่า  $f_e$  มีค่าน้อยกว่า  $\varepsilon$  อย่างต่อเนื่องในช่วงเวลาสั้น ๆ  $\tau$  วินาที (สำหรับงานวิจัยนี้ออกแบบให้  $\varepsilon = 0.4$  นิวตัน และ  $\tau = 0.15$  วินาที) แล้วให้ทำการ reset ค่า PO ให้มีค่าเป็นศูนย์ เพื่อทำให้ตัวควบคุม passivity ทำงานโดยทันทีเมื่อ gripper สัมผัสกับวัตถุเบื้องหนึ่ง ในการทดลองได้มีการทดสอบระบบเมื่อใช้ตัวควบคุม passivity กับวัตถุเบื้องหนึ่งโดยมีการ reset ค่า PO ซึ่งให้ผลการทดสอบตามรูป 4.28



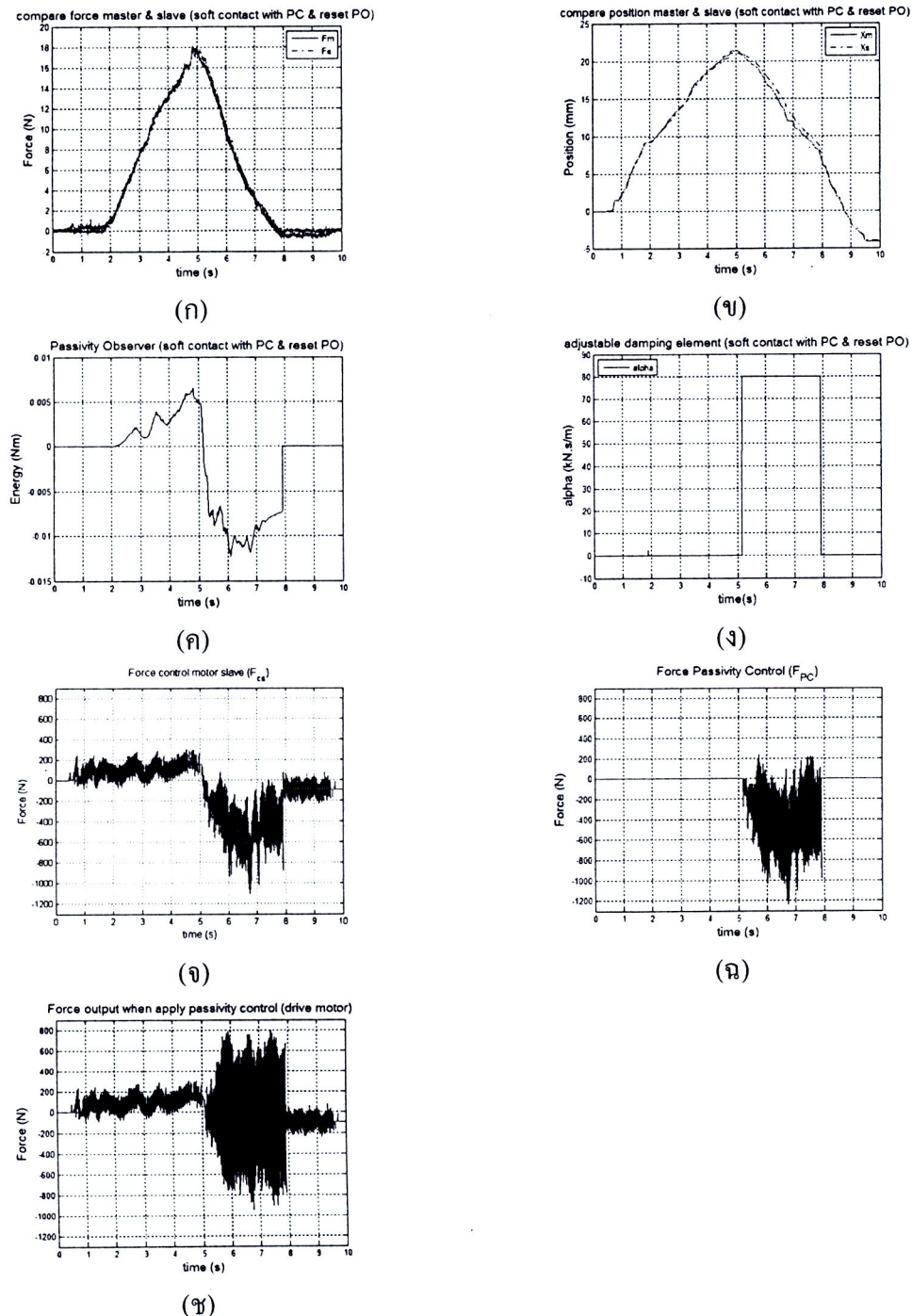
รูป 4.28 ผลการทดสอบกรณีทดสอบระบบกับวัตถุแข็งเครื่องเมื่อใช้ PC และมีการ reset ค่า PO (ก)  
ผลการติดตามของสัญญาณแรง (ข) ผลการติดตามของสัญญาณตำแหน่ง (ค) ค่า PO ของระบบ (ง)  
ค่าตัวหน่วยของตัวควบคุม passivity (จ) สัญญาณควบคุมมอเตอร์คันสเลฟ (ฉ) สัญญาณควบคุม  
จากตัวควบคุม passivity (PC) (ช) สัญญาณควบคุมเอกสารพุ่งสำหรับควบคุมมอเตอร์คันสเลฟ



รูป 4.29 ผลการติดตามของสัญญาณแรงและตำแหน่งการเคลื่อนที่ขยายในช่วงเวลาวินาทีที่ 2.45 ถึง วินาทีที่ 2.95 กรณีทดสอบกับวัตถุแข็งเกร็งเมื่อใช้ PC และมีการ reset ค่า PO

รูป 4.28 แสดงผลการตอบสนองของระบบกรณีทดสอบระบบกับวัตถุแข็งเกร็งเมื่อใช้ตัวควบคุม passivity และมีการ reset ค่า PO โดยรูป 4.28 (ก) แสดงผลการติดตามของสัญญาณแรงและรูป 4.28 (ข) แสดงผลการติดตามของสัญญาณตำแหน่งระหว่างด้านมาสเตอร์และสเลฟ รูป 4.28 (ค) แสดงค่า PO ของระบบ รูป 4.28 (ง) แสดงค่าตัวหน่วยของตัวควบคุม passivity รูป 4.28 (จ) แสดงสัญญาณควบคุมมอเตอร์ด้านสเลฟ รูป 4.28 (ฉ) แสดงสัญญาณควบคุมจาก passivity (PC) และรูป 4.28 (ช) แสดงสัญญาณควบคุมอาจต่อตัวสเลฟ รูป 4.29 แสดงผลการติดตามของสัญญาณแรงและตำแหน่งการเคลื่อนที่ขยายในช่วงเวลาวินาทีที่ 2.45 ถึงวินาทีที่ 2.95 ตามลำดับ โดยระบบแฮปติกได้ถูกผู้ควบคุมทำการควบคุมแบบควบคุมทางด้านมาสเตอร์ทำให้ gripper ทางด้านสเลฟเริ่มมีการเคลื่อนที่ตามตั้งแต่เวลาวินาทีที่ 0.8 ไปจนถึงวินาทีที่ 2.54 ในช่วงเวลานี้ค่า PO จะ reset ค่าให้เป็นศูนย์เนื่องจากไม่มีการสัมผัสกับวัตถุ และหลังจากนั้น gripper เริ่มมีการสัมผัสกับวัตถุแข็งเกร็งพื้นที่ควบคุม passivity เริ่มทำงานดังแสดงในรูป 4.28 (ฉ) โดยสัญญาณควบคุมมีการแก่วงในช่วงเริ่มต้นและมีขนาดลดลงจนกระทั่งระบบเริ่มเข้าสู่เสถียรภาพในวินาทีที่ 2.85 ตามลำดับ และเมื่อ gripper ถูกควบคุมให้เคลื่อนที่ออกจากวัตถุในวินาทีที่ 6.15 พบว่า gripper ไม่มีการสัมผัสกับวัตถุทำให้ค่า PO จะ reset ให้มีค่าเป็นศูนย์ ดังนั้นในช่วงเวลานี้ตัวควบคุม passivity จะไม่ทำงานดังแสดงตามรูป 4.28 (ช)

ต่อมาเป็นการทดสอบระบบเมื่อใช้ตัวควบคุม passivity กับวัตถุอ่อนตัวประเภทชิลิโคลนโดยมีการ reset ค่า PO ซึ่งให้ผลการทดสอบตามรูป 4.30

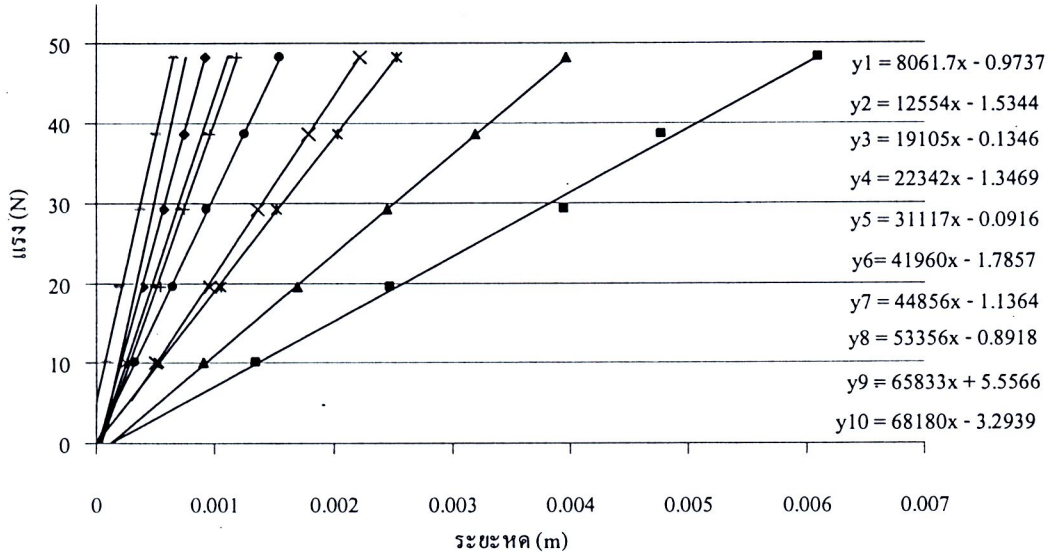


รูป 4.30 ผลการทดสอบกรณีทดสอบระบบกับวัตถุอ่อนตัว (ชิลิโกลน) เมื่อใช้ PC และมีการ reset ค่า PO (ก) ผลการติดตามของสัญญาณแรง (ข) ผลการติดตามของสัญญาณตำแหน่ง (ค) ค่า PO ของระบบ (ง) ค่าตัวหน่วงของตัวควบคุม passivity (จ) สัญญาณควบคุมมอเตอร์ด้านสเตฟ (ฉ) สัญญาณควบคุมจากตัวควบคุม passivity (PC) (ช) สัญญาณควบคุมเอาต์พุตสำหรับควบคุมมอเตอร์ด้านสเตฟ

รูป 4.30 แสดงผลการตอบสนองของระบบกรณีทดสอบระบบกับวัตถุอ่อนตัวเมื่อใช้ตัวควบคุม passivity โดยรูป 4.30 (ก) แสดงผลการติดตามของสัญญาณแรงและรูป 4.30 (ข) แสดงผลการติดตามของสัญญาณตำแหน่งระหว่างด้านมาสเตอร์และสเลฟ รูป 4.30 (ค) แสดงค่า PO ของระบบ รูป 4.30 (ง) แสดงค่าตัวหน่วงของตัวควบคุม passivity รูป 4.30 (จ) แสดงสัญญาณควบคุมมอเตอร์ด้านสเลฟ รูป 4.30 (ฉ) แสดงสัญญาณควบคุมจาก passivity (PC) และรูป 4.30 (ช) แสดงสัญญาณควบคุมมอเตอร์ด้านสเลฟ โดยระบบแฮปปิติกได้ถูกผู้ควบคุมทำการควบคุมตามที่ต้องการ แต่เวลาวินาทีที่ 0.7 ไปจนถึงวินาทีที่ 2 ในช่วงนี้ค่า PO ถูก reset ค่าให้เป็นศูนย์เนื่องจากไม่มีการสัมผัสถกับวัตถุ หลังจากนั้น gripper เริ่มมีการสัมผัสถกับวัตถุอ่อนตัวพบว่าเมื่อผู้ควบคุมออกแรงในการสัมผัสถกมากขึ้นจะทำให้ค่า PO มีค่าเพิ่มขึ้นและเมื่อลดระดับของแรงสัมผัสดลงจะทำให้ค่า PO ลดลงจนกระทั่งในเวลาวินาทีที่ 5.15 ถึงเวลาวินาทีที่ 7.9 ในช่วงเวลาดังกล่าวค่า PO ของระบบมีค่าน้อยกว่าศูนย์ดังแสดงตามรูป 4.30 (ค) ทำให้ตัวควบคุม passivity เริ่มทำงานดังรูป 4.30 (จ) ซึ่งมีผลกระทบต่อสัญญาณการติดตามของตำแหน่งการเคลื่อนที่ของแขนควบคุมการเคลื่อนที่ด้านมาสเตอร์และ gripper ด้านสเลฟ คือเกิดการประวิงเวลาของสัญญาณตำแหน่งการเคลื่อนที่ดังแสดงในรูป 4.30 (ข) และเมื่อ gripper ถูกควบคุมให้เคลื่อนที่ออกจากวัตถุหลังจากวินาทีที่ 7.9 พบว่า gripper ไม่มีการสัมผัสถกับวัตถุทำให้ค่า PO ถูก reset ให้มีค่าเป็นศูนย์ ดังนั้นในช่วงเวลานี้ตัวควบคุม passivity จะไม่ทำงานจึงทำให้ระบบมีผลการติดตามของตำแหน่งระหว่างแขนควบคุมทางด้านมาสเตอร์และ gripper ด้านสเลฟดังนี้

การทดสอบในส่วนที่สามเป็นการทดสอบเพื่อตรวจสอบสมรรถนะของระบบในช่วงของผลการตอบสนองชั่วครู่ (transient) โดยพิจารณาสัญญาณที่ได้จากการทดสอบในช่วงเวลา 3 วินาที หลังจาก gripper เริ่มสัมผัสถกับสิ่งแวดล้อม กรณีแรกเป็นการตรวจสอบสมรรถนะของระบบเมื่อระบบไม่ใช้การควบคุม passivity และกรณีที่สองเป็นการตรวจสอบสมรรถนะของระบบเมื่อใช้การควบคุม passivity ตามลำดับ โดยทดสอบระบบกับสปริงตัวอย่างที่มีค่าความแข็งของสปริงต่างกันจำนวน 10 ตัวอย่าง ซึ่งมีผลการทดสอบค่าความแข็งของสปริงตามรูป 4.31

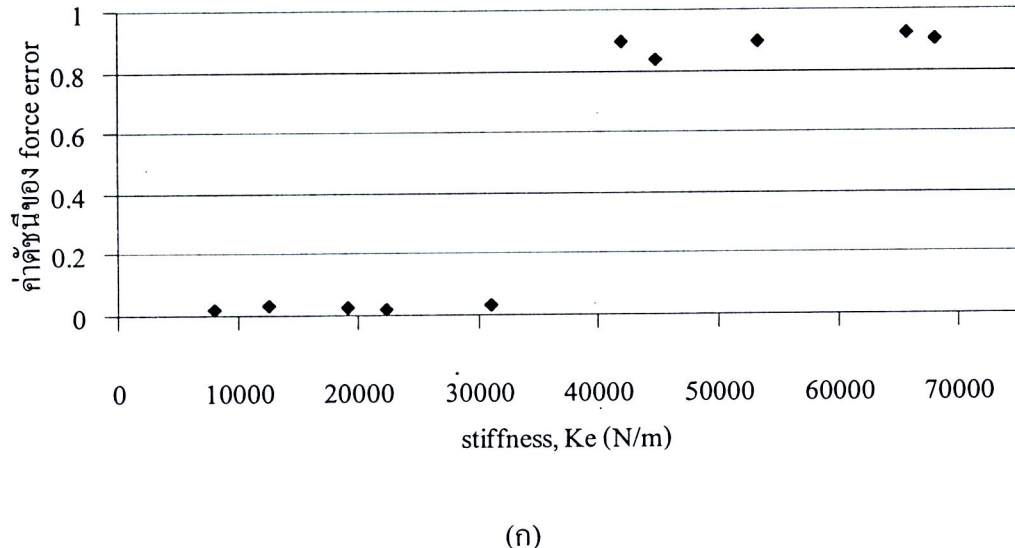
ความสัมพันธ์ระหว่างแรงกดและระยะหดตัวของตัวอย่างสปริง



รูป 4.31 ผลการทดสอบค่าความแข็ง (stiffness) ของสปริงตัวอย่าง

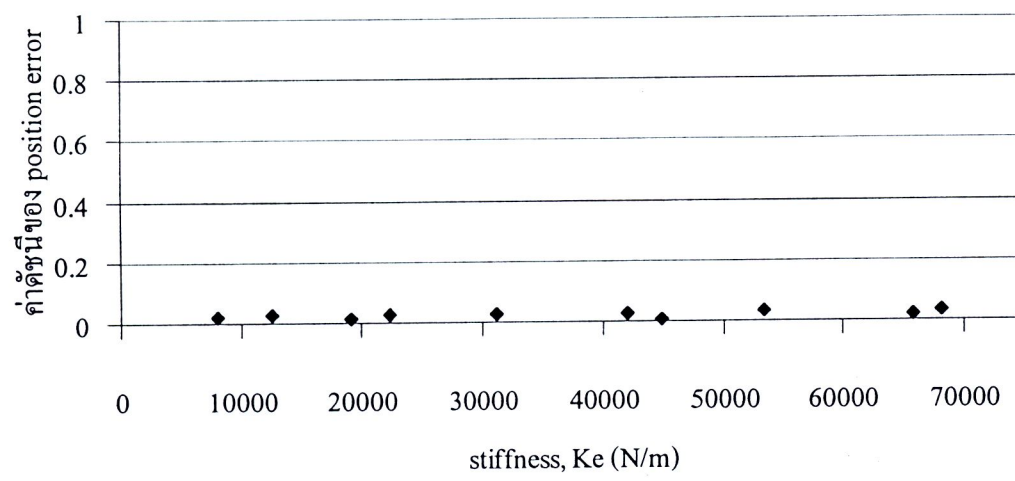
จากการทดสอบพบว่าสปริงตัวอย่างมีค่าความแข็ง (stiffness) เป็น  $K_{c1} = 8061.7$  นิวตัน/เมตร  $K_{c2} = 12554$  นิวตัน/เมตร  $K_{c3} = 19105$  นิวตัน/เมตร  $K_{c4} = 22342$  นิวตัน/เมตร  $K_{c5} = 31117$  นิวตัน/เมตร  $K_{c6} = 41960$  นิวตัน/เมตร  $K_{c7} = 44856$  นิวตัน/เมตร  $K_{c8} = 53356$  นิวตัน/เมตร  $K_{c9} = 65833$  นิวตัน/เมตร และ  $K_{c10} = 68180$  นิวตัน/เมตร ตามลำดับ ในการตรวจสอบสมรรถนะของระบบ ได้เลือกค่า คัดชัณสณรรถนะ (performance index) กำหนดให้  $\eta_1$  คือค่าดัชนีสมรรถนะของการติดตามของ สัญญาณแรงระหว่างแรงจากมือผู้ควบคุมและแรงปฎิกริยาของ gripper ด้านสเตปที่สัมผัสกับ สิ่งแวดล้อม โดย  $\eta_1 = \| \text{force error } (F_m - F_e) \|_2 / \| \text{force input } (F_e) \|_2$  และ  $\eta_2$  คือค่าดัชนี สมรรถนะของการติดตามของตำแหน่งการเคลื่อนที่ระหว่างแขนควบคุมการเคลื่อนที่ทางด้าน มาสเตอร์และ gripper ด้านสเตป โดย  $\eta_2 = \| \text{position error } (X_m - X_s) \|_2 / \| \text{position input } (X_m) \|_2$  โดยที่  $\| \text{error} \|_2 \equiv \sqrt{\int (\text{error})^2 dt}$  จากการทดสอบระบบกับสปริงตัวอย่างเมื่อไม่มีการควบคุม passivity พบร่วมค่าดัชนีสมรรถนะของระบบแสดงได้ตามรูป 4.32

ค่าดัชนี  $\eta_1 = \|\text{force error} (\mathbf{F}_m - \mathbf{F}_e) \|_2 / \|\text{force input} (\mathbf{F}_e) \|_2$  ; off-PC



(ก)

ค่าดัชนี  $\eta_2 = \|\text{position error} (\mathbf{X}_m - \mathbf{X}_s) \|_2 / \|\text{position input} (\mathbf{X}_m) \|_2$  ; off-PC



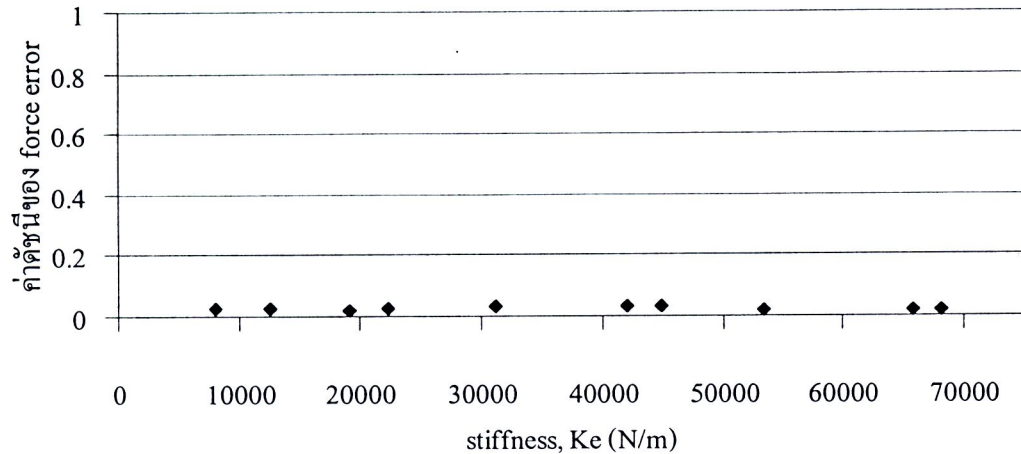
(ข)

รูป 4.32 กราฟแสดงค่าดัชนีสมรรถนะของระบบเมื่อระบบไม่ใช้การควบคุม passivity (ก) ค่าดัชนีสมรรถนะของการติดตามของสัญญาณแรงระหว่างแรงจากมือผู้ควบคุมและแรงปฏิกิริยาของ gripper ด้านสเลฟที่สัมผัสกับสิ่งแวดล้อม (ข) ค่าดัชนีสมรรถนะของการติดตามของตำแหน่งการเคลื่อนที่ระหว่างแขนควบคุมการเคลื่อนที่ทางด้านมาสเตอร์และ gripper ด้านสเลฟ

รูป 4.32 (ก) แสดงค่าชนีสมรรถนะของการติดตามของสัญญาณแรงระหว่างแรงจากมือผู้ควบคุม และแรงปฏิกิริยาของ gripper ทางด้านสเลฟที่สัมผัสกับสิ่งแวดล้อม ซึ่งสามารถสังเกตได้ว่าเมื่อทดสอบระบบกับสปริงตัวอย่าง โดยไม่ใช้ดั้วควบคุม passivity ในช่วงของค่าความแข็งของสปริงที่นำมาทดสอบตั้งแต่  $K_{c1} = 8061.7$  นิวตัน/เมตร เพิ่มขึ้นจนถึง  $K_{c5} = 31117$  นิวตัน/เมตร ค่าดัชนีสมรรถนะ  $\eta_1$  จะมีค่าเข้าใกล้ศูนย์และค่อนข้างคงที่โดยมีค่าเฉลี่ยเท่ากับ 0.0262 ซึ่งหมายถึงระบบมีสมรรถนะของการติดตามของสัญญาณแรงที่ดีในช่วงของความแข็งดังกล่าว และเมื่อทดสอบกับสปริงตัวอย่างที่มีค่าความแข็งมากขึ้นตั้งแต่  $K_{c6} = 41960$  นิวตัน/เมตร จนถึง  $K_{c10} = 68180$  นิวตัน/เมตร ค่าดัชนีสมรรถนะ  $\eta_1$  จะมีค่ามากขึ้นและไม่คงที่ ซึ่งหมายถึงระบบขาดเสถียรภาพและไม่มีสมรรถนะ สำหรับรูป 4.32 (ข) แสดงค่าชนีสมรรถนะของการติดตามของสัญญาณการเคลื่อนที่ระหว่างแขนควบคุมการเคลื่อนที่ทางด้านมาสเตอร์และ gripper ด้านสเลฟ ซึ่งสามารถสังเกตได้ว่าเมื่อทดสอบระบบกับสปริงตัวอย่าง โดยไม่ใช้ดั้วควบคุม passivity ในช่วงของค่าความแข็งตั้งแต่  $K_{c1} = 8061.7$  เพิ่มขึ้นจนถึง  $K_{c10} = 68180$  นิวตัน/เมตร ค่าดัชนีสมรรถนะ  $\eta_2$  จะมีค่าเข้าใกล้ศูนย์และค่อนข้างคงที่โดยมีค่าเฉลี่ยเท่ากับ 0.023 ซึ่งหมายถึงระบบแฮปติกมีสมรรถนะของการติดตามของสัญญาณการเคลื่อนที่ที่ดี อย่างไรก็ตามการทดสอบนี้แสดงให้เห็นว่าระบบแฮปติกที่ไม่มีการควบคุม passivity มีสมรรถนะของการติดตามของสัญญาณการเคลื่อนที่ที่ดีแต่สมรรถนะของการติดตามสัญญาณของแรงถูกจำกัดด้วยเสถียรภาพของระบบ ซึ่งเป็นผลกระทบมาจากค่าความแข็งของวัตถุหรือสิ่งแวดล้อมที่นำมาทดสอบ โดยระบบแฮปติกที่ได้ออกแบบนี้สามารถทำงานได้อย่างมีเสถียรภาพและมีสมรรถนะภายใต้ค่าความแข็งของวัตถุที่ไม่เกิน  $K_c = 41960$  นิวตัน/เมตร เมื่อไม่มีการควบคุม passivity

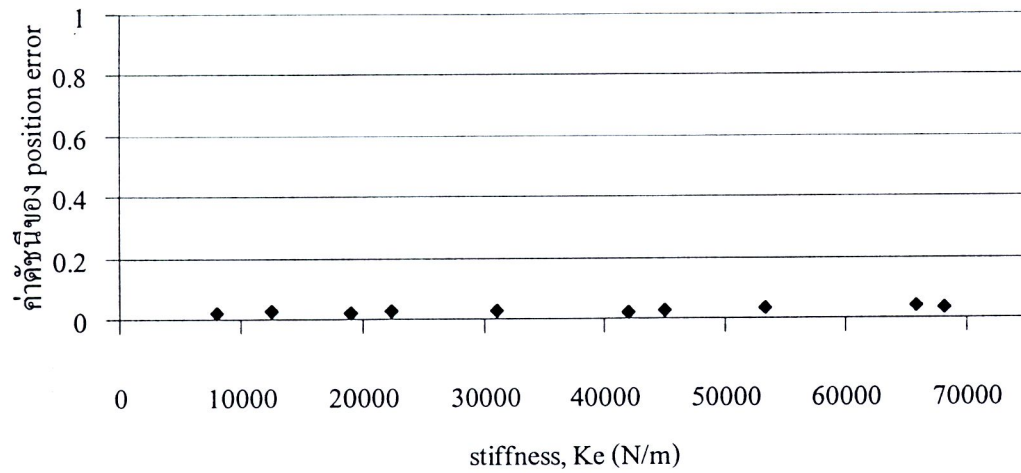
ต่อมาเป็นการทดสอบระบบแฮปติกกับสปริงตัวอย่างเมื่อระบบมีการควบคุม passivity พ布ว่าค่าดัชนีสมรรถนะของระบบสามารถแสดงได้ตามรูป 4.33

ค่าดัชนี  $\eta_1 = \|\text{force error } (\mathbf{F}_m - \mathbf{F}_e) \|_2 / \|\text{force input } (\mathbf{F}_e) \|_2$  ; on-PC



(ก)

ค่าดัชนี  $\eta_2 = \|\text{position error } (\mathbf{X}_m - \mathbf{X}_s) \|_2 / \|\text{position input } (\mathbf{X}_m) \|_2$  ; on-PC



(ข)

รูป 4.33 กราฟแสดงค่าดัชนีสมรรถนะของระบบเมื่อระบบใช้การควบคุม passivity (ก) แสดงค่าดัชนี สมรรถนะของการติดตามของสัญญาณแรงระหว่างแรงจากมือผู้ควบคุมและแรงปฏิกิริยาของ gripper คันสเลพที่สัมผัสกับสิ่งแวดล้อม (ข) แสดงค่าดัชนีสมรรถนะของการติดตามของตำแหน่ง การเคลื่อนที่ระหว่างแขนควบคุมการเคลื่อนที่ทางคันมาสเตอร์และ gripper คันสเลพ

รูป 4.33 (ก) แสดงค่าชนีสมรรถนะของการติดตามของสัญญาณแรงระหว่างแรงจากมือผู้ควบคุม และแรงปฎิกิริยาของ gripper ทางด้านสเลฟที่สัมผัสกับสิ่งแวดล้อม ซึ่งสามารถสังเกตได้ว่าเมื่อระบบใช้การควบคุม passivity ทดสอบกับสปริงตัวอย่างในช่วงของค่าความแข็งตั้งแต่  $K_{c1} = 8061.7$  นิวตัน/เมตร เพิ่มขึ้นจนถึง  $K_{c10} = 68180$  นิวตัน/เมตร ตามลำดับ ค่าดัชนีสมรรถนะ  $\eta_1$  จะมีค่าเข้าใกล้ศูนย์และค่อนข้างคงที่โดยมีค่าเฉลี่ยเท่ากับ 0.024 ซึ่งหมายถึงระบบมีสมรรถนะของการติดตามของสัญญาณแรงที่ดีตลอดช่วงของความแข็งของสปริงที่นำมาทดสอบ สำหรับรูป 4.33 (ข) แสดงค่าชนีสมรรถนะของการติดตามของสัญญาณการเคลื่อนที่ระหว่างแขนควบคุมการเคลื่อนที่ทางด้านมาสเตอร์และ gripper ด้านสเลฟ ซึ่งสามารถสังเกตได้ว่าค่า  $\eta_2$  จะมีค่าเข้าใกล้ศูนย์และค่อนข้างคงที่โดยมีค่าเฉลี่ยเท่ากับ 0.027 ซึ่งหมายถึงระบบมีสมรรถนะของการติดตามของสัญญาณการเคลื่อนที่ที่ดีตลอดช่วงของความแข็งของสปริงที่นำมาทดสอบ ดังนั้นเมื่อระบบแฮปติกมีการควบคุม passivity ตัวควบคุมจะช่วยปรับปรุงเสถียรภาพของระบบโดยสามารถขยายขอบเขตของเสถียรภาพที่เกิดจากผลกระทบของความแข็งของสปริงที่นำมาทดสอบและทำให้ระบบแฮปติกที่ได้ออกแบบนี้ทำงานอย่างมีสมรรถนะได้